

Wpływ metod trzebieży na wskaźniki przewagi konkurencyjnej drzew dorodnych w jednowiekowych drzewostanach sosnowych II i III klasy wieku

The influence of different thinning methods on dominance coefficients of future crop trees in even-aged Scots pine stands

Tadeusz Zachara

Instytut Badawczy Leśnictwa, Zakład Hodowli Lasu i Genetyki Drzew Leśnych,
Sękocin Stary, ul. Braci Leśnej 3, 05–090 Raszyn
Tel. +48 227150686; e-mail T.Zachara@ibles.waw.pl

Abstract. The research aim was to evaluate the influence of different thinning methods on future crop tree growth. Investigations were conducted on permanent Scots-pine experimental plots, established in 1960s and 1970s in Kozienice, Łąck, Parciaki and Janów Lubelski Forest Districts. To assess the response to thinning of future crop trees, their dominance coefficients were used. These are defined as quotients for each given future crop tree diameter and average stand diameter (WP1), the average dominant layer diameter (WP2) and the average diameter of 100 thickest trees per hectare (WP3). The difference between each coefficient value at the beginning and at the end of the measurement period was used as a measure of the thinning effect.

On Kozienice, Łąck and Parciaki plots the differences between treatments were significant, especially in the period after first thinning. The increase of WP3 coefficient occurred in a case of strong thinning – TS1 and TS2. On plot Parciaki also the moderate thinning TU1 and TU2 had a significant influence on change of this coefficient. On plot Janów Lubelski the influence of treatment has not been stated in the first 5-year period but in the next one.

Analyses of changes in the dominance coefficients confirmed the hypothesis that the WP3 coefficient is very useful as it is the most stable indicator of future crop-tree position in a stand. On Kozienice, Łąck and Parciaki plots the significant differences between treatments were stated, especially in the period after first thinning.

The influence of thinning treatment on the plot Janów Lubelski was not considered for the first 5-year period but in the next one. All reactions to thinning were slower on this plot, possibly because of the relatively poor site conditions. This was a long-term effect.

The results obtained suggest that very intense thinning of Scots pine stands should only be implemented under a restricted set of conditions – in healthy, not neglected, forest stands. Classical moderately-selective thinning is preferable to intense thinning and is the most convenient option for pine stands.

Key words: Scots pine, permanent experimental plots, dominance coefficients, thinning intensity

1. Wstęp i cel pracy

W europejskiej myśli trzebieżowej istnieją dwa zasadnicze podejścia do zagadnienia selekcji hodowlanej. Podejście klasyczne polega na wykorzystaniu podczas pielęgnowania drzewostanów zjawiska naturalnej kon-

kurencji i sprowadza się do umiarkowanego ingerowania w ten proces, tak aby w walce konkurencyjnej dopomóc osobnikom o pożądanym cechach jakościowych (Schädelin 1942; Leibundgut 1972; Zajączkowski 1994). W praktyce sprowadza się do wieloetapowej

selekcji najlepszych składników drzewostanu, przy współdziałaniu sił natury i decyzji człowieka.

Drugie podejście, bardziej współczesne, polega na przeniesieniu ciężaru selekcji na człowieka i minimalizowaniu konkurencji między drzewami. Wyrazem tego podejścia jest wczesny wybór drzew docelowych, silne cięcia i utrzymywanie drzewostanu w luźnym zwarciu (Abetz 1967; Johann 1981; Huss 1983, 1993). Jedną z istotnych przyczyn takiej zmiany podejścia jest wzrost kosztów prac leśnych, skutkujący upraszczaniem zabiegów i ich mechanizacją.

Oprócz kształtowania jakości, ważnym czynnikiem branym pod uwagę przy planowaniu trzebieży jest stabilność drzewostanu, w tym między innymi odporność na uszkodzenia mechaniczne powodowane przez czynniki atmosferyczne, zwłaszcza wiatr i śnieg, szczególnie istotna w wypadku drzewostanów gatunków iglastych (Konôpka et al. 1987; Zajączkowski 1991; Peltola et al. 2000). W odniesieniu do tego czynnika można wyróżnić dwie szkoły – pierwszą stawiającą na odporność indywidualną drzewa (Fries 1969; Abetz 1976; Johann 1981; Huss 1983, 1993, Stępień 1986; Konôpka et al. 1987), i drugą – podkreślającą znaczenie odporności zespołowej (Zajączkowski 1990, 1994; Słodičak 1995; Peltola et al. 1993; Talkkari et al. 2000). Pierwsza szkoła skłania się ku luźnej więźbie i silnym trzebieżom, a za podstawowy miernik stabilności uważa wskaźnik smukłości, czyli relację pierśnicy do wysokości h/d (Abetz 1976), druga preferuje umiarkowane cięcia, nie przerywające na trwałe zwarcia (trzebież słaba i umiarkowana, ewentualnie trzebież grupowa). Model kompromisowy polega na stosowaniu pierwszej strategii w młodym wieku (do II klasy) i stopniowemu obniżaniu nasilenia cięć w drzewostanach średniowiekowych i starszych (Słodičak 1995).

W związku z przewidywanym wzrostem udziału energii odnawialnej w ogólnej konsumpcji, powraca zainteresowanie wykorzystaniem drewna dla celów energetycznych (Alam et al. 2012). Może to skutkować powrotem do stosowania gęstszych więźb i częstszych trzebieży (Routa et al. 2011).

Badania trzebieżowe w Instytucie Badawczym Leśnictwa mają długą historię i są w znacznej mierze oparte na wynikach ze stałych powierzchni doświadczalnych (Bernadzi 1969; Grynkiewicz 1972, 1988; Ilmurzyński 1974; Zachara 1998, 1999, 2000). Na podstawie badań prowadzonych na stałych powierzchniach doświadczalnych w drzewostanach sosnowych II klasy wieku w nadleśnictwach Wyszaków, Ostrów Mazowiecka i Myszyńiec stwierdzono pozytywny wpływ trzebieży selekcyjnej na wzrost populacji drzew dorodnych, jeśli nasilenie pierwszego cięcia wynosiło nie mniej niż 20%. Wyraźny wpływ zaznaczał się przy nasileniu cięć wynoszącym 30%. W badaniach tych do oceny selekcyjnego

efektu trzebieży wykorzystano między innymi mierniki nazwane wskaźnikami przewagi (Zachara 1998, 1999) oparte na relacji między pierśnicą badanego drzewa a przeciętną pierśnicą całego drzewostanu lub zdefiniowanej klasy drzew. Spośród badanych wskaźników najlepszym miernikiem efektu trzebieży był wskaźnik WP3, oznaczający stosunek pierśnicy drzewa dorodnego do przeciętnej pierśnicy 100 najgrubszych drzew na hektarze.

Celem pracy było określenie wpływu różnych metod trzebieży na wzrost drzewostanu i populacji wybranych drzew dorodnych. W szczególności chodziło o stwierdzenie, jaką przewagę we wzroście na grubość dają drzewom dorodnym poszczególne rodzaje trzebieży i na ile ten efekt jest trwały.

2. Metodyka badań

2.1. Obiekty badawcze

Badania były prowadzone na następujących stałych powierzchniach badawczych Instytutu Badawczego Leśnictwa:

Nadl. Kozienice, Leśn. Chinów, oddz. 100

Nadl. Łąck, Leśn. Korzeń, oddz. 286b, 290 b,g

Nadl. Parciaki, Leśn. Bramura, oddz. 149

Nadl. Janów Lubelski, leśn. Bukowa, oddz. 192, 218, 219

Pierwsze 3 wymienione obiekty były założone jako powierzchnie więźbowe, a od roku 1999 traktowane są jako powierzchnie trzebieżowe. Powierzchnia w Janowie Lubelskim założona była w już istniejącej tyczkowie jako powierzchnia trzebieżowa.

Powierzchnie Kozienice, Łąck i Parciaki zostały założone poprzez sadzenie po przygotowaniu gleby pełną orką. Materiałem sadzeniowym była jednoroczna sosna wyczajna.

Powierzchnia w Nadl. Kozienice założona była na siedlisku boru świeżego, I bonitacji w roku 1965. Wymiary działek wynosiły 16×36 m. Powierzchnia w Nadl. Łąck została założona w roku 1965 na siedlisku boru świeżego, II bonitacji. Wymiary całych działek wynosiły 40×40 m, natomiast działek pomiarowych – 21×37 m. Powierzchnia w Nadl. Parciaki powstała w roku 1966, na siedlisku boru świeżego, I bonitacji, na gruncie porolnym. Wymiary całych działek wynosiły 50×50 m, a działek pomiarowych – 49×17 m.

Drzewostan na powierzchni Parciaki do 35 roku życia nie był poddawany żadnym zabiegom pielęgnacyjnym, na powierzchniach Łąck i Kozienice przeprowadzono umiarkowaną trzebież wczesną (Łąck – w wieku 25 lat, Kozienice – 30 lat).

W latach 1999–2001 na powierzchniach tych rozpoczęto doświadczenie trzebieżowe. Doświadczenie trzebieżowe na powierzchni Kozienice obejmuje 4 powtórzenia, na powierzchniach Parciaki i Łąck – 3 powtórzenia, przy czym powierzchnia Łąck nie ma prawidłowego układu blokowego.

W każdym powtórzeniu znajdowały się następujące warianty doświadczenia:

K – kontrola (bez trzebieży) w drzewostanie wyrosłym z uprawy posadzonej w więźbie prostokątnej 1,2×0,8 m;

TU1 – trzebież selekcyjna klasyczna (umiarkowana) w drzewostanie wyrosłym z uprawy posadzonej w więźbie kwadratowej (odległość między sadzonkami 1,0 m);

TU2 – trzebież selekcyjna klasyczna (umiarkowana) w drzewostanie wyrosłym z uprawy posadzonej w więźbie trójkątnej (odległość między sadzonkami 1,2 m);

TS1 – trzebież silna wg drzew docelowych w drzewostanie wyrosłym z uprawy posadzonej w więźbie kwadratowej (odległość między sadzonkami 1,2 m);

TS2 – trzebież silna wg drzew docelowych w drzewostanie wyrosłym z uprawy posadzonej w więźbie prostokątnej 1,2×0,55 m;

TG1 – trzebież grupowa w drzewostanie wyrosłym z uprawy posadzonej w więźbie kwadratowej (odległość między sadzonkami 0,8 m);

TG2 – trzebież grupowa w drzewostanie wyrosłym z uprawy posadzonej w więźbie trójkątnej (odległość między sadzonkami 1,0 m).

Na powierzchniach wyznaczono drzewa dorodne, zgodnie z przyjętymi poniżej założeniami, a wokół nich – drzewa szkodliwe, do usunięcia. Drzewa dorodne oznakowano w sposób trwały opaską z farby w aerozolu. Sposób wyznaczania drzew dorodnych i drzew do usunięcia był następujący:

– przy trzebieży klasycznej (warianty TU1 i TU2) wybierano drzewa dorodne w liczbie 500 sztuk na hektarze, dbając o równomierność ich rozmieszczenia. Spośród drzew szkodliwych usuwano nie więcej niż jedno drzewo z warstwy panującej;

– przy trzebieży grupowej (warianty TG1 i TG2) wybierano drzewa dorodne w takiej samej liczbie jak poprzednio, bez zachowania kryteriów równego odstępu. Podczas trzebieży starano się unikać usuwania drzew panujących o dobrej jakości;

– przy trzebieży silnej (warianty TS1 i TS2) wybierano drzewa dorodne w liczbie 350 sztuk na hektar, możliwie równomiernie rozmieszczone. Z ich bezpośredniego sąsiedztwa usuwano wszystkich konkurentów stykających się z nim koronami.

Trzebież według powyższych założeń na powierzchni Kozienice wyznaczono w roku 1999, a na powierz-

chniach Łąck i Parciaki – w roku 2000. Kolejną trzebież w Nadl. Kozienice wyznaczono w roku 2007 a w Nadl. Łąck – w 2008. Na powierzchni Parciaki, z uwagi na silne szkody biotyczne, od roku 2003 wykonywano jedynie cięcia sanitarne.

Powierzchnia Janów Lubelski została założona w roku 1976 w 21-letnim drzewostanie sosnowym I bonitacji (miejscami II) na siedlisku boru świeżego. Doświadczenie założone w układzie 3 bloków losowych służyło testowaniu wpływu cięć liniowych oraz trzebieży selekcyjnej o różnym nasileniu na stabilność i produktywność drzewostanu w II klasie wieku. Na powierzchni tej stosowano następujące warianty cięć:

K – kontrola;

S1 – trzebież selekcyjna słaba, z obniżeniem pola przekroju o 10% w stosunku do wariantu kontrolnego;

S3 – trzebież selekcyjna silna, z obniżeniem pola przekroju o 30%;

TE – trzebież ekstremalna – w pierwszym cięciu usunięto ponad 60% pola przekroju.

Wielkość każdej działki wynosiła 0,1 ha. Ostatnią trzebież na tej powierzchni wyznaczono w roku 2008.

2.2. Pomiary na powierzchniach doświadczalnych

Drzewostan na powierzchniach Kozienice, Łąck i Parciaki był pomierzony przed rozpoczęciem doświadczenia (w latach 1997–1999). Następne pomiary na powierzchni Kozienice miały miejsce w latach 2005 i 2011, Łąck – 2003, 2007 i 2012, Parciaki – 2003, 2006 i 2012. Pomiary na powierzchni w Janowie Lubelskim były wykonywane w latach 1976–2001 co 5 lat, a następnie w 2007 i 2012 roku.

Na powierzchniach Kozienice, Łąck i Parciaki wykonano pomiary pierśnic (w dwóch kierunkach), z dokładnością do 1 mm, oraz pomiary wysokości całkowitej i wysokości osadzenia żywej korony wszystkich drzew (z dokładnością do 0,1 m). Dokładnie określono usytuowanie drzew na działkach doświadczalnych. Przeprowadzono klasyfikację jakościowo-hodowlaną poszczególnych drzew według skali Schädelina (Bernadzki et al. 1999).

Na powierzchni Janów Lubelski pomierzono pierśnice wszystkich drzew i wykonano ich klasyfikację, natomiast wysokość zmierzono u około 30 drzew na każdej działce w celu wyliczenia regresji między pierśnicą a wysokością (krzywa wysokości).

2.3. Opracowanie wyników

Wyniki pomiarów ujęto tabelarycznie i zobrazowano graficznie. W tabelach przedstawiono liczbę drzew, pierśnicowe pole przekroju, przeciętną pierśnicę i wysokość oraz wysokość górną, a także pierśnicę 100

najgrubszych drzew na hektarze, z początku doświadczenia trzebieżowego i z ostatniego pomiaru.

Wskaźniki przewagi drzew dorodnych określono w następujący sposób:

$$WP1 = d_i/D,$$

$$WP2 = d_i/D_A,$$

$$WP3 = d_i/D_g,$$

gdzie d_i oznacza pierśnicę danego drzewa, D – przeciętną pierśnicę całego drzewostanu, D_A – przeciętną pierśnicę klasy drzew panujących (I klasa socjalna w klasyfikacji Schädeline, co odpowiada I i II klasie w skali Krafta), a D_g – pierśnicę 100 najgrubszych drzew na hektarze. Wielkości D , D_A , D_g były traktowane jako stałe w obrębie poszczególnych działek.

Średnie wskaźniki przewagi dla poszczególnych działek doświadczenia przedstawiono w tabelach.

Wyniki poddano dwuczynnikowej analizie wariancji. Za źródło zmienności przyjęto wariant doświadczenia, grupę drzew (wyróżniając drzewa grube, średnie i cienkie) oraz interakcje między nimi. Różnice między średnimi porównywano testem Tukeya.

Przy analizach statystycznych korzystano z pakietu Statistica 8.

W obliczeniach statystycznych dotyczących grupy drzew o wyrównanych parametrach początkowych ograniczono się do drzew dorodnych, których wskaźnik WP3 na początku badań zawierał się w granicach 0,65–0,95, odrzucając osobniki najcieńsze i najgrubsze. W każdym wariantcie wybrano po 30 drzew, w tym po 10 z przedziałów: 1 – 0,65–0,75, 2 – 0,75–0,85, 3 – 0,85–0,95. Łącznie wybrano więc po 210 drzew na powierzchniach Kozienice, Łąck i Parciaki oraz 120 drzew na powierzchni Janów.

Analizie poddano zmiany wskaźnika WP3, czyli różnice między wartością wskaźnika danego drzewa na końcu i na początku każdego okresu pomiarowego. Dla powierzchni Kozienice obliczono ponadto różnicę wskaźnika w okresie 1999–2011, dla powierzchni Łąck różnicę wskaźnika w okresie 1997–2012, a dla powierzchni Parciaki – różnicę w okresie 1998–2012, czyli między pomiarem wykonanym przed rozpoczęciem doświadczenia trzebieżowego a ostatnim pomiarem. Rok pomiaru nie na każdej powierzchni zbiegał się z rozpoczęciem doświadczenia czy wykonaniem cięcia. Dla powierzchni Janów takie długoterminowe zmiany wyliczono dla trzech okresów, tj. od początku doświadczenia w 1976 r. do:

- 1981, po pierwszej trzebieży,
- 1996 (w przybliżeniu okres odpowiadający II klasie wieku),
- 2012, czyli do ostatniego pomiaru.

3. Wyniki badań i ich omówienie

3.1. Cechy biometryczne drzewostanu w różnych wariantach cięć

Na powierzchni Kozienice (tab. 1) początkowa liczba drzew wahała się od 2849 szt./ha (wariant TS1) do 3537 szt./ha (wariant TG1), a pole przekroju od 29,739 m²/ha (TS2) do 33,398 m²/ha (TS1). Wariant TS1 charakteryzował się też wyższą wartością pierśnicy, zarówno przeciętnej, jak i górnej. Podczas ostatniego pomiaru liczba drzew wynosiła od 1132 szt./ha w wariantcie TS1 (silna trzebież) do 2076 szt./ha w wariantcie K (kontrolnym), a pole przekroju drzewostanu od 24,412 m²/ha w wariantcie TS2 do 34,804 m²/ha w wariantcie kontrolnym. Różnice były konsekwencją cięć prowadzonych zgodnie z planem. Stosunkowo niskie wartości pola przekroju są skutkiem wystąpienia szkód od śniegu i wiatru w miesiącach zimowych w latach 2009–2010. Szkody nie miały jednak charakteru powierzchniowego, ale posztuczny, więc nie zakłóciły doświadczenia.

Na powierzchni Łąck (tab. 2) początkowa liczba drzew wahała się od 3004 szt./ha w wariantcie TS1 do 4312 szt./ha w wariantcie TG1. Początkowo pole przekroju było najmniejsze w wariantcie kontrolnym (27,767 m²/ha), a największe w wariantcie TS2 (30,916 m²/ha). Podczas ostatniego pomiaru liczba drzew wynosiła od 1300 szt./ha w wariantcie TS1 do 2064 szt./ha w wariantcie kontrolnym. Pole przekroju drzewostanu wynosiło od 26,234 m²/ha w wariantcie TS1 do 34,790 m²/ha w wariantcie kontrolnym. Sporadyczne szkody abiotyczne (wiatr, śnieg) i biotyczne (przyplaszczek granatek) nie miały istotnego wpływu na przebieg doświadczenia. Na wyniki (podobnie jak w Kozienicach) pewien wpływ ma wewnętrzne zróżnicowanie siedliskowe, wyrażające się w zróżnicowaniu wysokości górnej drzewostanu.

Na powierzchni Parciaki (tab. 3) w momencie rozpoczęcia doświadczenia trzebieżowego zagęszczenie drzew było znacznie wyższe niż na omówionych wcześniej powierzchniach (por. rozdz. 2.1), o czym świadczy liczba drzew od 3896 szt./ha w wariantcie TU2 do 5117 szt./ha w wariantcie TG1 oraz pole przekroju wynoszące od 35,738 m²/ha w wariantcie kontrolnym do 39,382 m²/ha w wariantcie TS1. Po rozpoczęciu doświadczenia wzmożyły się szkody biotyczne, powodujące poszerzenie istniejących luk i powstawanie nowych. Stąd część działek podczas ostatniego pomiaru charakteryzowała się niezwykle małą liczbą drzew i polem przekroju, mimo że po wystąpieniu szkód zaprzestano trzebieży i prowadzono jedynie cięcia sanitarne. Największym polem przekroju (30,237 m²/ha) charakteryzował się wariant TG2, czyli trzebieży grupowej w drzewostanie posadzonym w więźbie trójkątnej. Najmniejsze pole

Tabela 1. Charakterystyka drzewostanu na powierzchni doświadczalnej Kozienice

Table 1 Stand characteristics on experimental plot Kozienice

Rok Year	Wariant* Treatment	Cały drzewostan** Total stand**						Drzewa dorodne Future crop trees			
		<i>n</i> (szt./ha)	<i>G</i> (m ² /ha)	<i>H</i> (m)	<i>D</i> (cm)	<i>H_g</i> (m)	<i>D_g</i> (cm)	<i>n</i> (szt./ha)	<i>G</i> (m ² /ha)	<i>H</i> (m)	<i>D</i> (cm)
1999	K	3349	32,659	13,4	11,2	14,6	17,3	493	7,749	14,1	14,1
	TG1	3537	30,402	13,2	10,5	14,7	15,8	550	7,647	14,1	13,4
	TG2	3118	31,016	13,6	11,3	15,3	17,3	580	8,854	14,6	14,0
	TS1	2849	33,398	14,0	12,3	15,0	18,8	374	7,152	14,8	15,6
	TS2	3175	29,739	13,7	10,9	15,2	16,7	365	5,942	14,7	14,4
	TU1	3045	30,938	13,8	11,4	14,9	17,1	511	8,475	14,7	14,1
	TU2	3054	30,869	13,5	11,4	14,8	17,1	510	8,394	14,3	14,4
średnia / average		3161	31,288	13,6	11,3	14,9	17,1	483	7,745	14,5	14,3
2011	K	2076	34,804	16,0	14,7	17,3	21,5	459	11,072	16,6	17,6
	TG1	1595	28,245	16,1	15,0	17,4	21,0	523	12,132	16,6	17,0
	TG2	1495	30,031	16,8	16,0	18,0	21,8	550	13,819	17,3	17,9
	TS1	1132	26,738	16,6	17,5	17,3	22,8	369	11,870	17,2	20,2
	TS2	1302	24,412	16,4	15,5	17,3	21,2	357	9,692	16,9	18,6
	TU1	1364	27,599	16,8	16,1	17,8	22,6	491	13,511	17,3	18,7
	TU2	1382	26,836	16,4	15,8	17,5	21,7	505	13,181	16,9	18,2
średnia / average		1478	28,381	16,5	15,8	17,5	21,8	465	12,182	17,0	18,3

- * K – kontrola (bez trzebieży) w drzewostanie wyrosłym z uprawy posadzonej w więźbie prostokątnej 1,2×0,8 m
group thinning, initial spacing of plantation 0,8×0,8 m
TG1 – trzebież grupowa w drzewostanie wyrosłym z uprawy posadzonej w więźbie kwadratowej (odległość między sadzonkami 0,8 m) / group thinning, initial spacing of plantation 0,8×0,8 m
TG2 – trzebież grupowa w drzewostanie wyrosłym z uprawy posadzonej w więźbie trójkątnej (odległość między sadzonkami 1,0 m)
group thinning, initial spacing of plantation – triangle 1,0 m
TS1 – trzebież silna wg drzew docelowych w drzewostanie wyrosłym z uprawy posadzonej w więźbie kwadratowej (odległość między sadzonkami 1,2 m)
strong thinning, initial spacing of plantation – 1,2×1,2 m
TS2 – trzebież silna wg drzew docelowych w drzewostanie wyrosłym z uprawy posadzonej w więźbie prostokątnej 1,2×0,55 m
strong thinning, initial spacing of plantation 1,2×0,55 m
TU1 – trzebież selekcyjna klasyczna (umiarkowana) w drzewostanie wyrosłym z uprawy posadzonej w więźbie kwadratowej (odległość między sadzonkami 1,0 m)
moderate thinning, initial spacing of plantation 1,0×1,0 m
TU2 – trzebież selekcyjna klasyczna (umiarkowana) w drzewostanie wyrosłym z uprawy posadzonej w więźbie trójkątnej (odległość między sadzonkami 1,2 m)
moderate thinning, initial spacing of plantation triangle 1,2 m

- ** *n* – liczba drzew / number of trees
G – pierśnicowe pole przekroju / basal area
H – wysokość przeciętna / mean height
D – pierśnica przeciętna / mean dbh
H_g – wysokość górna / top height
D_g – pierśnica górna / mean dbh of 100 thickest trees per hectare

przekroju (19,883 m²/ha) było w wariantach TG1 (gęsta więźba kwadratowa, trzebież grupowa).

Na powierzchni Janów Lubelski (tab. 4) na początku doświadczenia pole przekroju drzewostanu było podobne we wszystkich wariantach, natomiast liczba drzew była największa w wariantach kontrolnym (6403 szt./ha) i S1 – trzebieży słabej (5783 szt./ha), co świadczy o pewnej niejednorodności obiektu. Wyniki pomiarów z roku 1996 zostały z kolei zakłócone przez cięcie omyłkowo przeprowadzone przez ówczesną administrację leśną na części powierzchni, wskutek czego pole

przekroju w wariantach kontrolnym było niższe niż w wariantach trzebieży słabej. Podczas ostatniego pomiaru drzewostan charakteryzował się liczbą drzew od 677 szt./ha w wariantach trzebieży silnej (S3) do 1280 szt./ha w wariantach kontrolnym, natomiast pole przekroju drzewostanu było najmniejsze w wariantach S3 (26,594 m²/ha), a największe, zgodnie z oczekiwaniami, w wariantach kontrolnym (35,327 m²/ha). Najniższe wartości liczby drzew i pola przekroju uzyskane w wariantach S3 wynikają stąd, że w wariantach trzebieży ekstremalnej (TE) cięcia prowadzono rzadziej niż w pozostałych

Tabela 2. Charakterystyka drzewostanu na powierzchni doświadczalnej Łąck

Table 2. Stand characteristics on experimental plot Łąck

Rok Year	Wariant* Treatment*	Cały drzewostan Total stand						Drzewa dorodne Future crop trees			
		<i>n</i> (szt./ha)	<i>G</i> (m ² /ha)	<i>H</i> (m)	<i>D</i> (cm)	<i>H_g</i> (m)	<i>D_g</i> (cm)	<i>n</i> (szt./ha)	<i>G</i> (m ² /ha)	<i>H</i> (m)	<i>D</i> (cm)
1997	K	3405	27,767	12,1	10,3	13,6	15,5	506	6,364	12,7	12,6
	TG1	4312	32,184	11,5	9,7	12,8	15,3	516	6,696	12,4	12,9
	TG2	3232	28,700	12,1	10,6	13,4	16,2	516	7,426	12,8	13,5
	TS1	3004	28,327	12,1	11,0	13,2	16,4	352	5,438	12,7	14,0
	TS2	4011	30,916	11,6	9,9	12,7	15,3	334	4,525	12,4	13,1
	TU1	3477	28,666	12,1	10,4	13,5	16,3	481	6,905	12,8	13,5
	TU2	3253	28,639	11,7	10,6	12,6	15,9	496	6,850	12,3	13,3
średnia / average		3528	29,314	11,9	10,4	13,1	15,8	457	6,315	12,6	13,3
2012	K	2064	34,790	17,3	14,9	18,2	22,0	477	11,509	17,5	17,5
	TG1	1827	30,391	15,9	14,6	16,8	19,2	515	11,911	16,6	17,2
	TG2	1595	31,145	17,1	15,9	18,2	22,8	504	13,695	17,7	18,6
	TS1	1300	26,234	16,7	16,1	17,8	23,0	334	10,095	17,3	19,6
	TS2	1537	26,874	16,1	14,9	17,6	21,7	330	9,170	16,9	18,8
	TU1	1449	28,207	16,7	15,6	18,4	22,3	440	11,369	17,3	18,2
	TU2	1567	27,781	15,9	15,1	17,0	21,6	482	12,155	16,5	17,9
średnia / average		1620	29,346	16,5	15,3	17,7	21,8	440	11,415	17,1	18,3

* – jak w tab. 1 / As in Table 1

Tabela 3. Charakterystyka drzewostanu na powierzchni doświadczalnej Parciaki

Table 3. Stand characteristics on experimental plot Parciaki

Rok Year	Wariant* Treatment*	Cały drzewostan Total stand						Drzewa dorodne Future crop trees			
		<i>n</i> (szt./ha)	<i>G</i> (m ² /ha)	<i>H</i> (m)	<i>D</i> (cm)	<i>H_g</i> (m)	<i>D_g</i> (cm)	<i>n</i> (szt./ha)	<i>G</i> (m ² /ha)	<i>H</i> (m)	<i>D</i> (cm)
1998	K	4153	35,738	14,1	10,5	15,6	18,0	481	7,689	15,0	14,3
	TG1	5117	36,441	13,4	9,0	15,3	17,6	556	8,418	14,5	13,9
	TG2	4516	36,872	13,8	9,7	15,6	18,0	533	8,971	14,9	14,6
	TS1	3752	39,382	14,3	11,1	15,9	19,5	359	6,890	15,1	15,6
	TS2	4646	39,263	13,9	10,1	15,6	18,2	355	6,198	15,0	14,9
	TU1	4104	38,880	14,1	10,6	15,3	18,0	493	8,476	15,0	14,8
	TU2	3896	38,457	13,9	10,8	15,1	18,2	514	9,004	14,7	14,9
średnia / average		4312	37,862	13,9	10,3	15,5	18,2	470	7,949	14,9	14,7
2012	K	1295	26,537	18,0	16,3	19,3	23,2	316	8,299	18,7	18,5
	TG1	942	19,883	17,3	16,4	18,8	24,2	295	8,895	18,0	19,6
	TG2	1469	30,237	18,2	16,2	19,6	23,7	441	13,097	18,9	19,4
	TS1	881	21,967	18,0	17,9	19,3	24,5	225	7,968	18,6	21,2
	TS2	974	21,839	17,7	16,9	19,0	23,8	259	8,681	18,5	20,7
	TU1	1034	23,492	18,4	17,0	19,4	23,4	322	10,239	18,8	20,2
	TU2	1023	23,633	18,0	17,5	19,0	23,6	359	11,360	18,5	20,1
średnia / average		1088	23,941	17,9	16,9	19,2	23,8	317	9,791	18,6	20,0

* – jak w tab. 1 / As in Table 1

wariantach. Porównując wartości przeciętnej pierśnicy i wysokości w poszczególnych wariantach, można zauważyć, że w wariantach trzebieży silnej (S3 i TE) – w

odróżnieniu od wariantów: kontrolnego (K) i trzebieży słabej (S1), przeciętna smukłość spadła poniżej wartości krytycznej 100.

Tabela 4. Charakterystyka drzewostanu na powierzchni doświadczalnej w nadl. Janów Lubelski

Table 4. Stand characteristics on experimental plot Janów Lubelski

Rok Year	Wariant* Treatment*	Cały drzewostan** Total stand**						Drzewa dorodne Future crop trees			
		<i>n</i> (szt./ha)	<i>G</i> (m ² /ha)	<i>H</i> (m)	<i>D</i> (cm)	<i>H_g</i> (m)	<i>D_g</i> (cm)	<i>n</i> (szt./ha)	<i>G</i> (m ² /ha)	<i>H</i> (m)	<i>D</i> (cm)
1976	K	6403	27,473	9,4	7,4	11,5	12,9	757	6,220	10,6	10,4
	S1	5783	26,375	9,5	7,6	11,4	13,7	597	5,615	10,6	10,9
	S3	5093	27,634	10,2	8,3	11,9	14,3	640	6,559	11,1	11,4
	TE	4873	27,961	10,2	8,6	11,8	15,0	600	6,598	11,0	11,8
	średnia / average	5538	27,361	9,8	8,0	11,7	14,0	648	6,248	10,8	11,1
1996	K	1707	28,260	16,6	14,7	18,2	20,5	683	13,670	17,11	16,2
	S1	1820	30,564	16,6	14,8	17,9	21,6	570	12,756	17,11	16,8
	S3	1243	26,333	16,9	16,6	18,5	22,5	497	13,197	17,37	18,4
	TE	953	26,746	17,8	18,9	18,9	24,7	537	16,804	18,06	20,0
	średnia / average	1431	27,976	17,0	16,3	18,4	22,3	572	14,107	17,4	17,9
2012	K	1280	35,327	20,7	18,8	22,3	25,7	610	18,745	21,0	20,0
	S1	1030	31,006	19,9	19,6	21,3	26,7	420	14,982	20,3	21,2
	S3	677	26,594	21,8	22,5	23,1	28,5	373	16,574	22,1	23,9
	TE	697	30,754	22,1	23,7	23,1	29,8	437	20,750	22,3	24,6
	średnia / average	921	30,920	21,1	21,2	22,4	27,7	460	17,763	21,4	22,4

* K – kontrola / control treatment, without thinning

S1 – trzebież selekcyjna słaba, z obniżeniem pola przekroju o 10% w stosunku do wariantu kontrolnego
light thinning, 10 % basal area reduction

S3 – trzebież selekcyjna silna, z obniżeniem pola przekroju o 30% / strong thinning, 30 % basal area reduction

TE – trzebież ekstremalna – w pierwszym cięciu usunięto ponad 60% pola przekroju
very strong thinning, over 60 % basal area reduction at the first cutting

** - jak w tab. 1 / As in Table 1

3.2. Wskaźniki przewagi drzew dorodnych i ich zmiany

3.2.1. Powierzchnia Kozienice

Na początku doświadczenia wskaźnik przewagi drzew dorodnych nad średnią dla drzewostanu WP1 był podobny we wszystkich wariantach. Nieco wyższą wartość miał jedynie wskaźnik w wariantach TS2 (tab. 5). Po 6 latach (rok 2005) nastąpił spadek wskaźnika przewagi w większości wariantów, przy czym najgłębszy był w wariantach TG1 i TG2, gdzie wzrost przeciętnej pierśnicy był szybszy niż wzrost pierśnic drzew dorodnych. Nie zmienił się wskaźnik w wariantach TS1, gdzie drzewa dorodne pozbawione konkurencji zyskały możliwość przyrostu z prześwietlenia, a także w wariantach K, gdzie wzrost przeciętnej pierśnicy był niewielki. Po kolejnych 6 latach wskaźnik spadł we wszystkich wariantach, co można tłumaczyć wydzieleniem się (naturalnym i w wyniku trzebieży) drzew najcieńszych, z niższych warstw i związanym z tym wzrostem przeciętnej pierśnicy. W 2012 roku najwyższą wartość wskaźnik ten miał w wariantach TS2.

Wskaźnik WP2 kształtował się podobnie, z tą różnicą, że we wszystkich wariantach następowało jego

systematyczne zmniejszanie, najwolniejsze, podobnie jak w wypadku poprzedniego wskaźnika, w wariantach TS2.

Wskaźnik WP3 zachowywał się najbardziej stabilnie (tab. 5). W pierwszym okresie w większości wariantów miał miejsce niewielki spadek tego wskaźnika, utrzymanie na tym samym poziomie w wariantach TU2 i wyraźny wzrost w wariantach silnej trzebieży – TS1 i TS2. Jednak w drugim okresie w wariantach TS1 nastąpił spadek wskaźnika, a niewielki wzrost zanotowano nadal w wariantach TS2, a także TG2 i K.

Analiza zmian wskaźnika WP3 wykazała w pierwszym okresie bardzo istotny wpływ wariantu cięć (tab. 6), a także – istotny wpływ grupy. Jednorodną grupą wariantów o największym przyroście były warianty TS1, TS2 i TG2, przy czym pierwszy z nich wyróżnił się najbardziej zdecydowanie (ryc. 1). Zmiana wskaźnika w wariantach TU2 również miała wartość dodatnią. W drugim okresie nastąpiło zmniejszenie wartości wskaźnika w wariantach TS1, a wzrost w wariantach TG2, TS2 i K. W efekcie, w całym 12-letnim okresie, wpływ wariantu był bardzo istotny (tab. 6), a dodatnia zmiana wskaźnika zachodziła w wariantach TS2, TG2 i TS1. Największy spadek wartości wskaźnika był w wariantach TG1.

Tabela 5. Wskaźniki przewagi drzew dorodnych (WP1, WP2 i WP3) w poszczególnych latach i wariantach doświadczenia na powierzchni Kozienice

Table 5. Dominance coefficients (WP1, WP2 i WP3) of future crop trees depending on year and treatment on Kozienice experimental plot

Wariant* Treatment*	WP1			WP2			WP3		
	1999	2005	2011	1999	2005	2011	1999	2005	2011
K	1,254	1,256	1,183	1,147	1,129	1,104	0,812	0,807	0,810
TG1	1,267	1,201	1,138	1,141	1,102	1,098	0,840	0,831	0,818
TG2	1,239	1,191	1,105	1,109	1,088	1,078	0,807	0,806	0,815
TS1	1,261	1,261	1,146	1,152	1,127	1,093	0,825	0,864	0,837
TS2	1,307	1,301	1,195	1,168	1,166	1,144	0,856	0,869	0,872
TU1	1,267	1,251	1,160	1,158	1,127	1,106	0,851	0,842	0,829
TU2	1,265	1,256	1,146	1,158	1,144	1,093	0,838	0,838	0,830
Średnia / Average	1,266	1,245	1,153	1,148	1,126	1,102	0,833	0,837	0,830

* - jak w tab. 1 / As in Table 1

WP1 – relationship between dbh of given tree and mean dbh of stand

WP2 - relationship between dbh of given tree and mean dbh of dominant trees in stand

WP3 - relationship between dbh of given tree and mean dbh of 100 thickest trees per hectare

Rycina 1. Zmiana wskaźnika WP3 drzew dorodnych w kolejnych okresach pomiarowych w 7 wariantach doświadczenia na powierzchni Kozienice

Figure 1. Change of WP3 coefficient in consecutive measurement periods and 7 treatments on Kozienice experimental plot

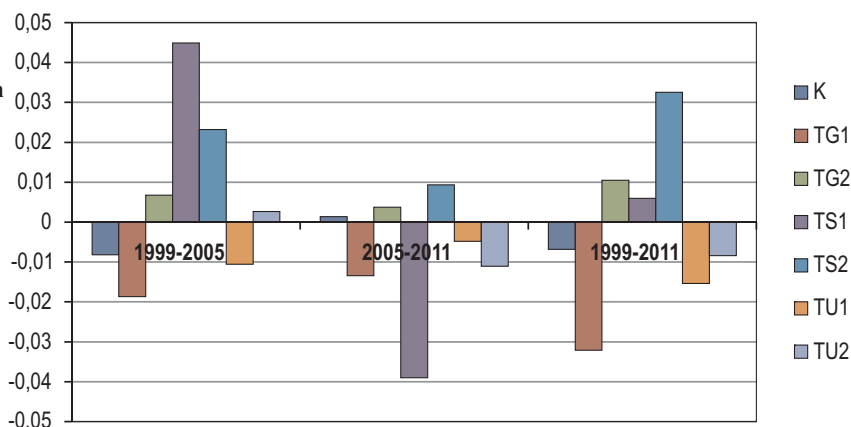
**Tabela 6. Wyniki analizy wariancji zmian wskaźnika WP3 w 7 wariantach więźbowo-trzebieżowych na powierzchni Kozienice**

Table 6. ANOVA results of WP3 coefficient changes in 7 spacing-thinning treatments on Kozienice experimental plot

Okres Period	Efekt Source of variation	Statystyka F F statistics	Poziom istotności Significance level	Grupy jednorodne Homogenous groups
1999–2005	A – wariant	5,382	0,0000	1: TG1, TU1, K, TU2, TG2 2: TU1, K, TU2, TG2, TS2 3: TG2, TS2, TS1
	B – grupa*	5,964	0,0031	1: g 2: s, c
1999–2011	A – wariant	3,707	0,0017	1: TG1, TU1, TU2, K, TS1, TG2 2: TU2, K, TS1, TG2, TS2
	B – grupa	1,374	0,2557	–

* 3 grupy drzew dorodnych, których wskaźnik WP3 na początku badań wynosił odpowiednio 0,65–0,75; 0,75–0,85 i 0,85–0,95
3 groups of future crop trees with initial WP3 coefficient in partitions: 1 – 0.65–0.75, 2 – 0.75–0.85, 3 – 0.85–0.95

Liczby pogrubione – istotność efektu / Bolded numbers – significant effect

3.2.2. Powierzchnia Łąck

Wartość wskaźnika WP1 w pierwszym okresie pomiarowym zmniejszyła się we wszystkich wariantach z wyjątkiem wariantu F (tab. 7), w drugim okresie, tj. do roku 2007, wzrosła we wszystkich wariantach z wyjątkiem TG2 i K, w trzecim zaś – zmalała w każdym wariantcie, co może oznaczać, że w tym właśnie okresie wydzieliła się największa grupa drzew dolnych klas socjalnych, podwyższając przeciętną pierśnicę drzewostanu.

Wskaźnik ten w poszczególnych wariantach był bardzo podobny na początku doświadczenia, a w okresie po pierwszej trzebieży nastąpił jego wzrost we wszystkich wariantach, by w drugim okresie zanotować ponowne zmniejszenie. W 2012 r. wszystkie warianty (z wyjątkiem TU1) charakteryzowały się większym wskaźnikiem WP2 niż na początku doświadczenia trzebieżowego.

Wartość wskaźnika WP3 nieznacznie zmalała w okresie po pierwszej trzebieży we wszystkich wariantach,

z wyjątkiem wariantów z trzebieżą silną – TS1 i TS2, w drugim okresie zwiększyła się we wszystkich wariantach, z wyjątkiem wariantów TG2 i K, w trzecim – nieznacznie zmniejszyła we wszystkich wariantach (tab. 7).

Analiza zmian wskaźnika WP3 wykazała istotny wpływ wariantu cięć w pierwszym okresie (tab. 8). Największym spadkiem tego wskaźnika wyróżnił się wariant K (kontrolny), a największym wzrostem – wariant TS2 (ryc. 2). W całym 15-letnim okresie dodatnia zmiana wskaźnika WP3 miała miejsce w wariantach TU2, TS2, TU1 i TS1, natomiast ujemna – w wariantach TG1, TG2 i K, jednakże zmiany te nie są udowodnione statystycznie (tab. 8). Może się to wiązać z trudniejszym do analiz statystycznych nie-blokowym układem doświadczenia.

3.2.3. Powierzchnia Parciaki

Jak wspomniano wcześniej, na powierzchni tej ujawnił się intensywny proces chorobowy, skutkujący maso-

Tabela 7. Wskaźniki przewagi drzew dorodnych w poszczególnych latach i wariantach doświadczenia na powierzchni Łąck

Table 7. Dominance coefficients of future crop trees depending on year and treatment on Łąck experimental plot

Wariant* Treatment*	WP1				WP2				WP3			
	1997	2003	2007	2012	1997	2003	2007	2012	1997	2003	2007	2012
K	1,229	1,203	1,192	1,173	1,068	1,126	1,087	1,095	0,815	0,806	0,802	0,793
TG1	1,312	1,227	1,238	1,167	1,100	1,149	1,119	1,103	0,835	0,831	0,833	0,822
TG2	1,260	1,200	1,195	1,161	1,079	1,130	1,110	1,100	0,832	0,822	0,818	0,808
TS1	1,264	1,250	1,261	1,209	1,103	1,153	1,131	1,123	0,853	0,853	0,856	0,849
TS2	1,291	1,309	1,318	1,249	1,115	1,198	1,170	1,163	0,851	0,866	0,867	0,860
TU1	1,290	1,223	1,228	1,153	1,107	1,134	1,116	1,096	0,821	0,808	0,814	0,810
TU2	1,236	1,212	1,217	1,180	1,096	1,148	1,111	1,099	0,830	0,827	0,831	0,827
Średnia / Average	1,269	1,232	1,236	1,185	1,095	1,148	1,121	1,111	0,834	0,830	0,832	0,824

* - jak w tab. 1 / As in Table 1

Rycina 2. Zmiana wskaźnika WP3 drzew dorodnych w kolejnych okresach pomiarowych na powierzchni Łąck

Figure 2. Change of WP3 coefficient in consecutive measurement periods on Łąck experimental plot

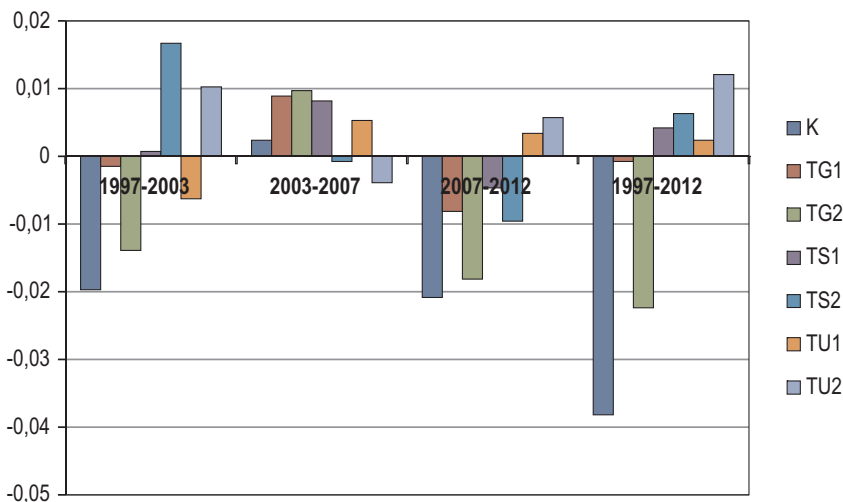


Tabela 8. Wyniki analizy wariancji zmian wskaźnika WP3 w 7 wariantach więźbowo–trzebieżowych na powierzchni Kozienice

Table 8. ANOVA results of WP3 coefficient changes in 7 spacing-thinning treatments on Kozienice experimental plot

Okres Period	Efekt Source of variation	Statystyka F F statistics	Poziom istotności Significance level	Grupy jednorodne Homogenous groups
1997–2003	A – wariant	3,201	0,0051	1: K, TG2, TU1, TG1, TS1 2: TG2, TU1, TG1, TS1, TU2 3: TU1, TG1, TS1, TU2, TS2
	B – grupa*	0,381	0,6836	–
1997–2012	A – wariant	1,809	0,0992	–
	B – grupa	2,102	0,1251	–

* - jak w tab. 6 / As in Table 6

Tabela 9. Wskaźniki przewagi drzew dorodnych w poszczególnych latach i wariantach doświadczenia na powierzchni Parciaki

Table 9. Dominance coefficients of future crop trees depending on year and treatment on Parciaki experimental plot

Wariant* Treatment*	WP1				WP2				WP3			
	1998	2003	2006	2012	1998	2003	2006	2012	1998	2003	2006	2012
K	1,351	1,235	1,167	1,152	1,125	1,109	1,088	1,062	0,789	0,808	0,820	0,808
TG1	1,441	1,214	1,185	1,175	1,131	1,103	1,094	1,074	0,778	0,773	0,798	0,800
TG2	1,416	1,271	1,190	1,187	1,138	1,121	1,102	1,093	0,807	0,801	0,810	0,815
TS1	1,337	1,240	1,203	1,175	1,149	1,164	1,111	1,096	0,795	0,820	0,839	0,857
TS2	1,427	1,259	1,225	1,214	1,155	1,139	1,134	1,114	0,813	0,837	0,859	0,860
TU1	1,334	1,215	1,188	1,181	1,115	1,122	1,105	1,105	0,814	0,829	0,844	0,858
TU2	1,325	1,202	1,174	1,146	1,108	1,127	1,083	1,067	0,816	0,838	0,839	0,848
Średnia / Average	1,376	1,234	1,190	1,176	1,132	1,126	1,102	1,087	0,802	0,815	0,830	0,835

* - jak w tab. 1 / As in Table 1

Tabela 10. Wyniki analizy wariancji zmian wskaźnika WP3 w 7 wariantach więźbowo–trzebieżowych na powierzchni Parciaki

Table 10. ANOVA results of WP3 coefficient changes in 7 spacing-thinning treatments on Parciaki experimental plot

Okres Period	Efekt Source of variation	Statystyka F F statistics	Poziom istotności Significance level	Grupy jednorodne Homogenous groups
1998–2003	A – wariant	5,179	0,0001	1: TG1, TG2, K 2: TG2, K, TS1, TU1, TU2 3: K, TS1, TU1, TU2, TS2
	B – grupa*	0,525	0,5925	–
1998–2012	A – wariant	2,593	0,0194	–
	B – grupa	0,884	0,4150	–

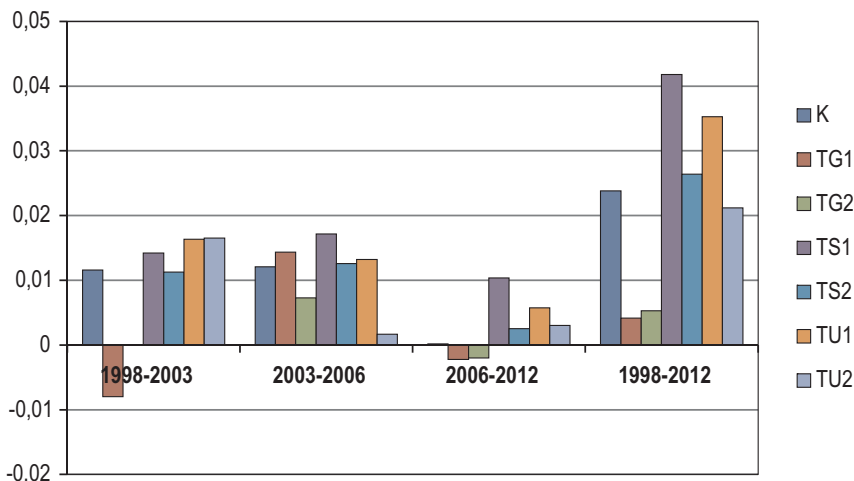
* - jak w tab. 6 / As in Table 6

wym wypadem drzew. Stąd populacja drzew dorodnych, które przetrwały 14-letni okres badawczy, nie jest wielka. Drzewostan, w odróżnieniu od pozostałych, nie był wcześniej pielęgnowany, stąd początkowe bardzo wysokie wartości wskaźnika WP1, spowodowane niską przeciętną pierśnicą drzewostanu, i znaczne zmniejszenie wskaźnika we wszystkich wariantach w kolejnych latach (tab. 9).

W pierwszym okresie po trzebieży nastąpił wzrost wskaźnika WP2 w wariantach trzebieży umiarkowanej TU1 i TU2 oraz w wariantach trzebieży silnej TS1, a zmniejszenie tego wskaźnika w pozostałych wariantach. Różnica reakcji drzewostanów w dwóch wariantach trzebieży silnej TS1 i TS2 mogła wynikać z faktu, iż w tym ostatnim, odznaczającym się gęstą więźbą początkową, przy okazji trzebieży usunięto sporą liczbę cien-

Rycina 3. Zmiana wskaźnika WP3 drzew dorodnych w kolejnych okresach pomiarowych na powierzchni Parciaki

Figure 3. Change of WP3 coefficient in consecutive measurement periods on Parciaki experimental plot



kich drzew o wysokiej pozycji socjalnej, podwyższając przeciętną pierśnicę tej klasy. W kolejnych okresach notowano mniejszy lub większy spadek wskaźnika, lecz ze względu na bardzo intensywne wypadki trudno te dane interpretować.

Wskaźnik WP3 zwiększył się w pierwszym okresie we wszystkich wariantach, z wyjątkiem wariantów trzebieży grupowej TG1 i TG2, natomiast w kolejnych okresach, w trakcie trwania intensywnego wypadu, zwiększył się we wszystkich wariantach, z TG1 i TG2 łącznie (tab. 9).

Analiza wariancji wykazała istotny wpływ wariantu na zmiany wskaźnika w pierwszym okresie (tab. 10). Ujemna zmiana nastąpiła w wariancie TG1, bliska zeru – w wariancie TG2, dodatnia – w wariantach pozostałych

(ryc. 3). Dla całego 14-letniego okresu wykazano wprawdzie wpływ wariantu, jednak słabszy niż dla pierwszego okresu – nie udało się wyróżnić grup jednorodnych (tab. 10). We wszystkich wariantach miał miejsce wzrost wskaźnika, jednak w wypadku wariantów TG1 i TG2 był on wyraźnie mniejszy.

3.2.4. Powierzchnia Janów

W chwili rozpoczęcia doświadczenia drzewostan na tej powierzchni był młodszy niż w pozostałych obiektach (por. rozdz. 2.1), stąd wartość wskaźników na początku doświadczenia była znacznie wyższa (tab. 11). Po pierwszej trzebieży wskaźniki zmniejszyły się we wszystkich badanych wariantach, najbardziej w wa-

Tabela 11. Wskaźniki przewagi drzew dorodnych w poszczególnych latach i wariantach doświadczenia na powierzchni Janów

Table 11. Dominance coefficients of future crop trees depending on year and treatment on Janów Lubelski experimental plot

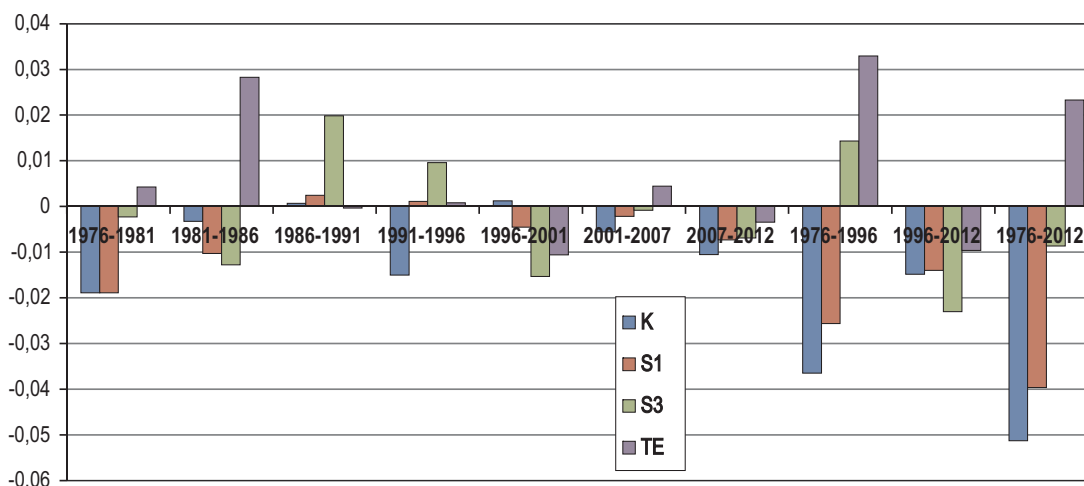
Wskaźnik Coefficient	Wariant* treatment	1976	1981	1986	1991	1996	2001	2007	2012
WP1	K	1,383	1,309	1,254	1,165	1,088	1,089	1,058	1,046
	S1	1,421	1,297	1,236	1,177	1,123	1,124	1,098	1,064
	S3	1,359	1,249	1,209	1,139	1,095	1,101	1,068	1,050
	TE	1,362	1,044	1,056	1,057	1,042	1,058	1,024	1,025
	średnia / average	1,381	1,225	1,189	1,134	1,087	1,093	1,062	1,046
WP2	K	1,088	1,062	1,059	1,045	0,989	0,991	0,988	0,981
	S1	1,104	1,072	1,064	1,064	1,012	1,009	1,027	1,021
	S3	1,095	1,088	1,081	1,073	1,023	1,022	1,027	1,021
	TE	1,088	1,011	1,023	1,016	0,998	1,021	1,012	1,004
	średnia / average	1,094	1,058	1,057	1,049	1,005	1,011	1,013	1,007
WP3	K	0,801	0,779	0,779	0,781	0,785	0,770	0,765	0,765
	S1	0,792	0,774	0,763	0,766	0,772	0,758	0,769	0,781
	S3	0,800	0,796	0,782	0,795	0,808	0,792	0,813	0,829
	TE	0,783	0,783	0,799	0,792	0,800	0,789	0,814	0,815
	średnia / average	0,794	0,783	0,781	0,784	0,791	0,777	0,790	0,798

* - jak w tab. 4 / As in Table 4

Tabela 12. Wyniki analizy wariancji zmian wskaźnika WP3 w 4 wariantach trzebieży na powierzchni Janów
 Table 12. ANOVA results of WP3 coefficient changes in 4 spacing-thinning treatments on Janów experimental plot

Okres Period	Efekt Source of variation	Statystyka F F statistics	Poziom istotności Significance level	Grupy jednorodne Homogenous groups
1976–1981	A – wariant	3,589	0,0161	1: K, S1, S3 2: S3,TE
	B – grupa*	1,431	0,2435	–
1976–1996	A – wariant	7,850	0,0001	1: K, S1 2: S1, S3 3: S3, TE
	B – grupa	0,522	0,5949	–
1976–2012	A – wariant	5,219	0,0021	1: K, S1, S3 2: S3, TE
	B – grupa	1,994	0,1411	–

* - jak w tab. 6 / As in Table 6



Rycina 4. Zmiana wskaźnika WP3 drzew dorodnych w kolejnych okresach pomiarowych na powierzchni Janów
 Figure 4. Change of WP3 coefficient in consecutive measurement periods on Janów experimental plot

riancie trzebieży ekstremalnej TE, gdyż tam najbardziej wzrosła przeciętna pierśnica drzewostanu. W kolejnych okresach badawczych następowało powolne zmniejszanie wartości wskaźnika, a po roku 1996 jednorazowy wzrost. Mogło się to wiązać ze wspomnianym (w rozdz. 3.1) dodatkowym cięciem wykonanym na części powierzchni.

Kształtowanie się wskaźnika WP2 przebiegało podobnie jak w przypadku wskaźnika WP1, jednakże zmiany nie były tak gwałtowne, gdyż przeciętna pierśnica klasy panującej zmienia się wolniej niż przeciętna pierśnica całego drzewostanu. Najsilniejszy spadek wartości wskaźnika miał miejsce w wariacie TE, choć w 1986 r. tam też notowano jego wzrost. W 2012 r. najniższą wartość wskaźnika charakteryzował się wariant kontrolny K.

Wskaźnik WP3 w okresie badań podlegał zmianom, różnym w zależności od wariantu cięć. W pierwszym okresie obniżył się we wszystkich wariantach, z wyjątkiem wariantu TE (tab. 11). W wariacie kontrolnym powoli, lecz systematycznie malał. W wariantach S1 i S3 początkowo malał, a następnie wzrósł. W 2012 r. najwyższą wartość miał w wariacie S3. W wariacie TE był nieco mniejszy, co można tłumaczyć rzadszym wykonywaniem zabiegów w tym wariacie.

Analiza wariancji wykazała istotny wpływ wariantu cięć na zmianę wskaźnika WP3 dla pierwszego okresu pomiarowego, dla całego okresu badawczego oraz pierwszych 20 lat doświadczenia (tab. 12). Najsilniejszy wpływ wykazano w przypadku II klasy wieku. Może się to wiązać z faktem, że silna trzebież daje efekt długofalowy, stąd największy wzrost wskaźnika w wariacie TE i S3 miał miejsce nie w pierwszym 5-letnim

okresie, tylko w następnym (ryc. 4). W okresie 1996–2012 spadek wskaźnika miał miejsce we wszystkich wariantach. W II klasie wieku dodatnią zmianą wskaźnika charakteryzowały się warianty TE i S3, a pod koniec III klasy wieku – tylko wariant TE.

4. Podsumowanie i dyskusja wyników

Rezultaty uzyskane w ramach przedstawionych badań nie pozwalają na wyciągnięcie zbyt daleko idących wniosków dotyczących przydatności określonych metod trzebieży, z uwagi na to, iż były one testowane na ograniczoną skalę i przy różnym stanie początkowym (adaptacja doświadczenia więźbowego).

Do oceny reakcji przyrostowych wykorzystano wskaźniki przewagi zdefiniowane we wcześniejszych opracowaniach (Zachara 1998, 1999). Dwa z nich były stosowane już wcześniej w doświadczalnictwie leśnym. Ilmurzyński (1974) oceniał trafność wyboru drzew dorodnych na podstawie przewagi pierśnicy danego drzewa nad pierśnicą przeciętną, co odpowiada zdefiniowanemu w niniejszej pracy wskaźnikowi WP1. Hynynen (1995) określał reakcję pojedynczego drzewa na trzebież za pomocą stosunku jego pierśnicy do przeciętnej pierśnicy 100 najgrubszych drzew na hektarze, czyli wskaźnika WP3.

Wskaźnik WP1, jak wykazano we wcześniejszych badaniach na powierzchniach w nadleśnictwach Wyszaków, Ostrów Mazowiecka i Myszyniec (Zachara 1998), jest bardzo zależny od stopnia zagęszczenia drzewostanu, stąd wynikają jego gwałtowne zmiany w kolejnych okresach pomiarowych. W badaniach z 1998 r. po pierwszej trzebieży wykonanej około 20 roku życia większy spadek wartości wskaźnika WP1 cechował warianty o większym nasileniu cięcia, później sytuacja się odwróciła – w kolejnych okresach największe spadki miały miejsce w wariantcie kontrolnym. Pod koniec II klasy wieku nie można było zauważyć różnic między wariantami cięć, jeśli chodzi o wielkość tego wskaźnika. Podobne wyniki uzyskano w obecnych badaniach.

Wskaźnik WP2 z kolei miał być doskonalszą wersją wskaźnika WP1, mniej zależną od struktury socjalnej drzewostanu i obecności w nim drzew opanowanych i przygłuszonych. Zauważyć jednak należy, że jego wielkość zależy w znacznym stopniu od procesu przemieszczania się drzew w klasach biosocjalnych. Ustąpienie pewnej liczby drzew panujących do niższych klas automatycznie powoduje wzrost przeciętnej pierśnicy drzewostanu panującego, czego można się spodziewać w wariantcie kontrolnym lub trzebieży słabej. Z drugiej strony w drzewostanie pielęgnowanym, w porównaniu z wariantem kontrolnym, należy oczekiwać wzrostu przeciętnej pierśnicy drzewa z warstwy panującej (Pařez

1980). Stąd interpretacja zmian tego wskaźnika może przedstawiać pewne trudności. Dodatkową komplikacją jest subiektywna ocena pozycji socjalnej drzewa, mająca wpływ na uzyskany wynik zwłaszcza wtedy, gdy w trakcie doświadczenia następuje zmiana osoby prowadzącej, co jest nieuniknione przy wieloletnich doświadczeniach. Taka zmiana miała miejsce na przykład na powierzchni Łąck, gdzie uzyskano wyniki odmienne niż w innych obiektach – wzrost wskaźnika w okresie po pierwszej trzebieży. Z tego względu wskaźnik ten należy traktować jedynie jako orientacyjną informację, a nie precyzyjny miernik zmian w drzewostanie.

Najciekawsze z poznawczego punktu widzenia są wyniki analiz zmian wskaźnika WP3, który jest najbardziej stabilnym miernikiem zmian sytuacji wzrostowej drzewa. Wcześniejsze badania (Zachara 1998) wykazały istotny wpływ nasilenia cięcia na wzrost drzew dorodnych na początku II klasy wieku, z wyjątkiem jednej powierzchni założonej na słabszym siedlisku (II bonitacji) i stopniowe zanikanie różnic w kolejnych okresach. Część autorów dochodzi nawet do wniosku, że pozytywny efekt trzebieży w sosnie jest możliwy tylko na bogatszych siedliskach (Kojola et al. 2012).

Równie silną reakcją polegającą na wzroście wskaźnika WP3 zarejestrowano w obecnych badaniach na powierzchniach Kozienice, Łąck i Parciaki, zwłaszcza w wariantach trzebieży silnej wg drzew docelowych. Tak samo w kolejnych okresach następowało niwelowanie tych różnic. Wyjątkiem była powierzchnia Parciaki, na której wykazano istotny wpływ wariantu cięć na zmiany wskaźnika WP3 w całym kilkunastoletnim okresie. Było to zapewne spowodowane prześwieczeniem drzewostanu wskutek postępującej choroby. Drzewa, które uniknęły porażenia, zyskały bowiem lepsze warunki wzrostu.

Nieco inaczej wyglądała sytuacja na powierzchni w Janowie, gdzie zastosowano między innymi wariant trzebieży ekstremalnej, dający długotrwałe prześwieczenie drzewostanu. Tu najsilniejszą reakcją po trzebieży odnotowano dopiero w drugim 5-letnim okresie. Wpływ wariantu cięć był silniejszy w okresie 20-lecia niż pierwszego 5-lecia. Można to interpretować jako wyraz wolniejszej reakcji drzewostanu na słabszym siedlisku (Ważyński 1987), gdyż fragmenty powierzchni charakteryzują się II bonitacją.

W okresie 20-letnim wykazano istotność wpływu trzebieży silnej i ekstremalnej, a w okresie 36-letnim, licząc od początku doświadczenia – tylko trzebieży ekstremalnej. Taki wynik może być interpretowany jako argument na rzecz bardzo silnych i rzadkich trzebieży. Jednakże interpretacja ma pewne słabe punkty – tak silną trzebież wykonywano tylko na małych 10-arowych działkach, nie wiadomo, jakie byłyby jej efekty na dużych powierzchniach, jeśli chodzi o zagrożenie od czyn-

ników biotycznych i abiotycznych. Zdaniem Zajączkowskiego (1991) szkody od huraganowych wiatrów w latach 70. i 80. XX w. miały miejsce w tych regionach, gdzie wcześniej stosowano silne i wielkopowierzchniowe trzebieże. Za ostrożnością w nadmiernym zwiększaniu nasilenia trzebieży przemawia też sytuacja obserwowana na powierzchni Parciaki, gdzie zastosowanie silnej trzebieży uruchomiło proces chorobowy w drzewostanie. Nie jest też wystarczająco jasne, jaki byłby wpływ masowego stosowania tej metody na jakość i właściwości mechaniczne drewna (Peltola et al. 2007). Zwiększenie intensywności cięć na szerszą skalę powinno być poprzedzone wszechstronnymi studiami i badaniami pilotażowymi (Mäkinen et al. 2005).

Na niektórych powierzchniach stwierdzono wpływ początkowej grubości drzewa dorodnego na efekt trzebieży. Drzewa, których wskaźnik WP3 wynosił około 0,7, wykazywały pozytywną reakcję na przeprowadzone cięcie, co wskazuje, że możliwy jest wybór drzew dorodnych nie tylko spośród osobników najgrubszych, a w konsekwencji intensywniejsza selekcja jakościowa (Zimmerman 2010). Podobne wyniki uzyskano w dwóch doświadczeniach z silną trzebieżą w drzewostanach sosnowych w Niemczech i Czechach, przy niskiej liczbie drzew dorodnych wynoszącej 200 szt./ha (Abetz et Chroust 2004). Jak wskazują wyniki badań Chrousta (2001), prawidłowość ta (pozytywna reakcja cieńszych drzew na dokonane cięcie) dotyczy tylko osobników z warstwy panującej (II klasa Krafta), gdyż szukanie drzew dorodnych wśród drzew współpanujących (z III klasy Krafta) nie daje pozytywnego efektu – nawet przy silnej trzebieży górnej ich wzrost na grubość nie jest satysfakcjonujący. Wcześniej Ilmurzyński (1974) jako kryterium wyboru drzew dorodnych przyjmował pierśnicę o 20% większą od przeciętnej dla drzewostanu (czyli WP1_{1,2}), jednak w świetle uzyskanych wyników, kryterium to należy uznać za nieprecyzyjne, a kierować się raczej wskaźnikiem WP3, jako bardziej obiektywnym.

W latach 90. XX w. na terenie Meklemburgii założono dość podobne doświadczenie trzebieżowe w drzewostanach sosnowych, w których wybrano różną liczbę drzew dorodnych (od 170 do 600 szt./ha). Wstępne wyniki potwierdziły wpływ trzebieży silnej istotnie wyższy niż tradycyjnej trzebieży selekcyjnej na przyrost grubości drzew dorodnych, pod warunkiem że ich liczba jest nie większa niż 200 szt./ha (Mehl 2003).

Jeśli chodzi o znaczenie wyników dla praktyki leśnej, prowadzone doświadczenie pozwala na dokonanie pewnych ostrożnych uogólnień. Znaczący efekt trzebieży w Janowie był uzyskany poprzez trzebież silną (S3 i TE), a na pozostałych powierzchniach poprzez trzebież wg drzew docelowych (TS1 i TS2). Na niektórych powierzchniach można było stwierdzić pozytywny efekt

również w wypadku trzebieży umiarkowanej (TU1 i TU2). Natomiast trzebież słaba (S1 w Janowie) nie dała takiego efektu. To samo dotyczy trzebieży grupowej (TG1 i TG2) na powierzchniach Kozienice, Łąck i Parciaki. W tym ostatnim przypadku przyczyną może być fakt, iż jednym z głównych celów tej metody trzebieży jest zapewnienie stabilności drzewostanu (Zajączkowski 1990), co wiąże się z unikaniem przerywania zwarcia.

5. Wnioski

Wskaźnik przewagi WP3 jest dobrym miernikiem pozwalającym ocenić przydatność danego drzewa do wyboru jako dorodne oraz do oceny efektów trzebieży. Przy silnych trzebieżach można wybrać jako dorodne drzewa o wskaźniku $WP3 \geq 0,7$.

Trwały efekt trzebieży w postaci poprawy wzrostu drzew dorodnych w porównaniu z resztą drzewostanu może być uzyskany pod wpływem trzebieży silnej lub umiarkowanej. Trzebież słaba nie daje takiego efektu.

Podstawową metodą trzebieży drzewostanów sosnowych powinna pozostać umiarkowana trzebież selekcyjna. Stosowanie silnych cięć, na rzecz mniejszej liczby drzew dorodnych, może być stosowane w celach doświadczalnych w obiektach charakteryzujących się dobrym stanem sanitarnym i niezaniebanych pielęgnacyjnie.

Literatura

- Abetz P. 1967. Erste Ergebnisse aus Stammzahlreduzierungsversuchen in Fichten- und Kiefernjungbeständen. *AFZ*, 33: 565–568.
- Abetz P. 1976. Beiträge zum Baumwachstum. Der h/d-Wert – mehr als ein Schlankheitsgrad. *Der Forst- und Holzwirt*, 19: 389–393.
- Abetz P., Chroust 2004. Wachstumvergleiche in zwei Kiefern-Durchforstungsversuchen in Tschechien und Deutschland. *Allgemeine Forst und Jagdzeitung*, 6: 117–124.
- Alam A., Kilpeläinen A., Kellomäki S. 2012. Impacts of initial density and thinning regimes on energy wood production and management-related CO₂ emissions in boreal ecosystems. *European Journal of Forest Research*, 131,3: 655–667.
- Bernadzki E. 1969. Zmiany wartości hodowlanej drzewostanu pod wpływem cięć liniowych. *Sylwan*, 10: 1–10.
- Bernadzki E., Ilmurzyński E., Szymański S. 1999. Trzebieże. Poradnik leśniczego. Warszawa, PWRiL. ISBN 83-09-00192-4.
- Chroust L. 2001. Výsledky úrovňové a podúrovňové výchovy borového porostu. *Lesnická Práce*, 6: 252–254.

- Fries J. 1969. Der Einfluss extrem starker Durchforstung auf den Ertrag und die Bestandessicherheit von Nadelholzbeständen. *AFZ*, 39: 760–761.
- Gryniewicz J. 1972. Wpływ trzebieży selekcyjnej i cięć liniowych na powstawanie szkód śniegowych w drzewostanach sosnowych. *Sylwan*, 3: 17–28.
- Gryniewicz J. 1988. Próba weryfikacji biologiczno-hodowlanych klas drzew wyróżnionych w drzewostanach sosnowych II klasy wieku. *Prace Instytutu Badawczego Leśnictwa*, 661: 94–129.
- Huss J. 1983. Durchforstungen in Kiefernjungbeständen. *Forstwissen-schaftliches Centralblatt*, 1: 1–17.
- Huss J. 1993. Waldbau von neuen Herausforderungen bei Waldverjüngung und Jungbestandspflege. *Forstwissen-schaftliches Centralblatt*, 3: 278–286.
- Hynynen J. 1995. Predicting the growth response to thinning for Scots pine stands using individual-tree growth models. *Silva Fennica*, 29 (3), 225–246.
- Ilmurzyński E. 1974. Badania nad trafnością wyboru drzew dorodnych w drzewostanach sosnowych, dębowych i bukowych. *Prace Instytutu Badawczego Leśnictwa*, 470: 1–50.
- Johann K. 1981. Nicht schnee, sondern falsche Bestandesbehandlung verursacht Katastrophen. *Allgemeine Forstzeitung*, 92 (5): 163–171.
- Kojola S., Ahtikoski A., Hökkä H., Penttilä 2012. Profitability of alternative management regimes in Scots pine stands on drained peatlands. *European Journal of Forest Research*, 131: 413–426.
- Konôpka J., Petráš R., Toma R. 1987. Štíhlostný koeficient hlavných drevín a jeho význam pri statickej stabilite porastov. *Lesnictvi*, 33 (10): 887–904.
- Leibundgut H. 1972. Pielęgnowanie drzewostanów. Warszawa, PWRiL, s. 160.
- Mäkinen H., Hynynen J., Isomäki A. 2005. Intensive management of Scots pine stands in southern Finland: First empirical results and simulated further development. *Forest Ecology and Management*, 215: 37–50.
- Mehl M. 2003. Erste Ergebnisse zur Z-Baumorientierten Auslesedurchforstung in Kiefernjungbeständen. *Forstliches Versuchswesen M-V*, 4: 65–70.
- Pařez J. 1980. Fytocenotické postavení stromů v borových tyčovínách a jeho zmeny. *Lesnictvi*, 1: 21–34.
- Peltola H., Kellomäki S., Hassinen A., Lemettinen M., Aho J. 1993. Swaying of trees as caused by wind: analysis of field measurements. *Silva Fennica*, 27, 2: 113–126.
- Peltola H., Kellomäki S., Hassinen A., Granander M. 2000. Mechanical stability of Scots pine, Norway spruce and birch: an analysis of tree-pulling experiments in Finland. *Forest Ecology and Management*, 135: 143–153.
- Peltola H., Kilpeläinen A., Sauvala K., Räisänen T., Ikonen V.-P. 2007. Effects of early thinning regime and tree status on the radial growth and wood density of Scots pine. *Silva Fennica*, 3. 489–505.
- Routa J., Kellomäki S., Peltola H., Asikainen A. 2011. Impacts of thinning and fertilization on timber production in Norway spruce and Scots pine: scenario analyses based on ecosystem model simulations. *Forestry*, 2: 159–171.
- Schädelin W. 1942. Die Auslesedurchforstung als Erziehungsbetrieb höchster Wertleistung. 3, Bern-Leipzig.
- Slodičák M. 1995. Thinning regime in stands of Norway spruce subjected to snow and wind damage. w: Coutts M. P., Grace I. (eds). Wind and trees. Cambridge University Press: 436–447.
- Stępień E. 1986. Zwiększanie stabilności drzewostanów przy pracach odnowieniowych. *Sylwan*, 1: 13–21.
- Talkkari A., Peltola H., Kellomäki S., Strindman H. 2000. Integration of component models from the tree, stand and regional levels to assess the risk of wind damage at forest margins. *Forest Ecology and Management*, 135: 303–313.
- Ważyński P. 1987. Produkcyjność pielęgowanych i niepielęgowanych drzewostanów sosnowych II klasy wieku. *Prace Komisji Nauk Rolniczych i Komisji Nauk Leśnych PTPN*, 64: 151–157.
- Zachara T. 1998. Wpływ trzebieży selekcyjnej na strukturę socjalną i jakość hodowlaną drzewostanów sosnowych II klasy wieku. Praca doktorska. Instytut Badawczy Leśnictwa, Warszawa, s. 79.
- Zachara T. 1999. Influence of selective thinning on growth of future crop trees population in young Scots pine stands. *Folia Forestalia Polonica, Series A*, 41: 87–103.
- Zachara T. 2000. Wpływ trzebieży selekcyjnej na strukturę biosocjalną drzewostanu sosnowego w II klasie wieku. *Prace Instytutu Badawczego Leśnictwa*, 3 (902): 35–61.
- Zajączkowski J. 1990. Stabilisierende Gruppendurchforstung in Kiefernbeständen. *Forstarchiv*, 1: 39–40.
- Zajączkowski J., 1991. Odporność lasu na szkodliwe działanie wiatru i śniegu. Warszawa, Wydawnictwo Świat. s. 224.
- Zajączkowski J. 1994. Biogrupy drzew w drzewostanach – możliwości i celowość ich wykorzystania przy prowadzeniu trzebieży. *Prace Instytutu Badawczego Leśnictwa, Seria A*, 778: 1–38.
- Zimmerman R. 2010. Kiefern-Durchforstungsversuch „Spitze 314 a 1”. *AFZ Wald*, 1: 26–29.

The influence of different thinning methods on dominance coefficients of future crop trees in even-aged Scots pine stands

Tadeusz Zachara

Forest Research Institute, Department of Silviculture and Genetics, Sękocin Stary, ul. Braci Leśnej 3, 05–090 Raszyn, Poland.

Tel. +48 22 7150686; e-mail T.Zachara@ibles.waw.pl

Abstract. The research aim was to evaluate the influence of different thinning methods on future crop tree growth.

Investigations were conducted on permanent Scots-pine experimental plots, established in 1960s and 1970s in Kozienice, Łąck, Parciaki and Janów Lubelski Forest Districts. To assess the response to thinning of future crop trees, their dominance coefficients were used. These are defined as quotients for each given future crop tree diameter and average stand diameter (WP1), the average dominant layer diameter (WP2) and the average diameter of 100 thickest trees per hectare (WP3). The difference between each coefficient value at the beginning and at the end of the measurement period was used as a measure of the thinning effect.

On Kozienice, Łąck and Parciaki plots the differences between treatments were significant, especially in the period after first thinning. The increase of WP3 coefficient occurred in a case of strong thinning – TS1 and TS2. On plot Parciaki also the moderate thinning TU1 and TU2 had a significant influence on change of this coefficient. On plot Janów Lubelski the influence of treatment has not been stated in the first 5-year period but in the next one.

Analyses of changes in the dominance coefficients confirmed the hypothesis that the WP3 coefficient is very useful as it is the most stable indicator of future crop-tree position in a stand. On Kozienice, Łąck and Parciaki plots the significant differences between treatments were stated, especially in the period after first thinning.

The influence of thinning treatment on the plot Janów Lubelski was not considered for the first 5-year period but in the next one. All reactions to thinning were slower on this plot, possibly because of the relatively poor site conditions.

This was a long-term effect.

The results obtained suggest that very intense thinning of Scots pine stands should only be implemented under a restricted set of conditions – in healthy, not neglected, forest stands. Classical moderately-selective thinning is preferable to intense thinning and is the most convenient option for pine stands.

Key words: Scots pine, permanent experimental plots, dominance coefficients, thinning intensity

1. Introduction and study aim

There are two essential approaches to breeding selection in European thinning concept. The classical approach consists of the use during forest stand tending the phenomenon of natural competition and comes down to moderate interference in this process to help individuals of desirable quality features in the competitive strug-

gle (Schädelin 1942; Leibundgut 1972; Zajączkowski 1994). In practice, it means a multi-phase selection of best forest stands components, with cooperation of nature forces and human decisions.

The second approach, more modern, consists of transferring the burden of selection to humans and minimising competition between trees. The result of this approach is an early selection of crop trees, strong cut-

ting and maintenance of open canopy in forest stands (Abetz 1967; Johann 1981; Huss 1983, 1993). One of the essential causes of such an approach change is an increase of forest work costs, resulting in simplification of interventions and their mechanisation.

Except quality formation, an important factor taken into consideration during thinning planning is a forest stand's stability, including inter alia its resistance to mechanical damages caused by atmospheric factors, especially wind and snow, and particularly in case of coniferous species forest stands (Konôpka et al. 1987; Zajączkowski 1991; Peltola et al. 2000). With reference to this, two approaches can be distinguished – first, focusing on tree's individual resistance (Fries 1969; Abetz 1976; Johann 1981; Huss 1983, 1993, Stępień 1986; Konôpka et al. 1987) and, second, emphasising the importance of group immunity (Zajączkowski 1990, 1994; Slodičák 1995; Peltola et al. 1993; Talkkari et al. 2000). The first approach leans towards loose spacing and strong thinning and slenderness coefficient is considered to be a basic stability measurer, which is a relation of diameter breast height (dbh) to height h/d. The second approach prefers moderate cutting, not breaking permanently canopy density (light and moderate thinning, possibly group thinning). The compromise model involves the use of the first strategy at young age (to II class) and a gradual decrease of cutting intensity in average age and older forest stands (Slodičák 1995).

Due to an expected increase of renewable energy in general consumption, the interest in wood use for energy purposes is renewed (Alam et al. 2012). It may result in using again denser spacing and more frequent thinning (Routa et al. 2011).

Thinning research in Forestry Research Institute has a long history and in a large measure based on results from permanent experimental plots (Bernadzki 1969; Gryniewicz 1972, 1988; Ilmurzyński 1974; Zachara 1998, 1999, 2000). On the basis of research conducted on permanent experimental plots in pine forest stands of II age class in Wyszaków, Ostrów Mazowiecka and Myszyniec Forest Inspectorate, a positive influence of selective thinning on growth of crop tree population was stated, if the intensity of first cutting amounted to no less than 20%. A distinct influence was noticeable with cutting intensity amounting to 30%. In this research, for selective thinning effect evaluation, measurers among others called 'dominance coefficients' (Zachara 1998, 1999) based on the relation between dbh of examined tree and average dbh of whole forest stand or defined trees class were used. Among the examined coefficients,

the best coefficient of thinning effect was WP3 coefficient, defined as ratio of crop tree's dbh to average dbh of 100 thickest trees per hectare.

The aim of study was to define the influence of various thinning methods on growth of forest stand and population of chosen crop trees. In particular, it needs to be stated what dominance in increase in thickness individual thinning types provide and how permanent this effect is.

2. Research methodology

2.1. Research objects

The research was conducted on the following permanent experimental plots of the Forestry Research Institute:

- Kozienice Forest Inspectorate, Forest District Chinów, comp. 100
- Łąck Forest Inspectorate, Forest District Korzeń, comp. 286b, 290 b, g
- Parciaki Forest Inspectorate, Forest District Bra-mura, comp 149
- Janów Lubelski Forest Inspectorate, Forest District Bukowa, comp. 192, 218, 219.

The first three mentioned objects were created as spacing areas, and from 1999 they were treated as thinning areas. A plot in Janów Lubelski was created as thinning area in an already existing small polewood stage.

Kozienice, Łąck and Parciaki plots were created by planting after soil preparation by full cultivation. The planting material was 1-year-old Scots pine seedlings.

Plot in Kozienice Forest Inspectorate was created in an area of fresh coniferous forest, I site index in 1965. Plot dimensions were 16×36 m. Plot in Forest Inspectorate Łąck was created in 1965 in an area of fresh coniferous forest, II site index. Dimensions of whole plots were 40×40 m, while measuring plots were 21×37 m. Plot in Parciaki Forest Inspectorate was created in 1966 in an area of fresh coniferous forest, I site index, on former agricultural land. Dimensions of whole plots were 50×50 m, and measuring plots were 49×17 m.

Forest stand to 35-year-olds in Parciaki plot did not undergo any tending interventions; in Łąck and Kozienice plots run was moderate early thinning (Łąck – 25 years, Kozienice – 30 years).

Thinning experiment began in 1999–2001 in these plots. Thinning experiment in Kozienice plot includes four repetitions, in Parciaki and Łąck plots three repetitions, whereas Łąck plot had no correct block system.

In each repetition, the following experiment treatments occurred:

K – control (without thinning) in forest stand grown from cultivation planted in rectangular spacing 1.2×0.8 m;

TU1 – classic selective thinning (moderate) in forest stand grown from cultivation planted in square spacing (distance between seedlings 1.0 m);

TU2 – classic selective thinning (moderate) in forest stand grown from cultivation planted in triangular spacing (distance between seedlings 1.2 m);

TS1 – heavy thinning by crop trees in forest stand grown from cultivation planted in square spacing (distance between seedlings 1.2 m);

TS2 – heavy thinning by crop trees in forest stand grown from cultivation planted in rectangular spacing 1.2×0.55 m;

TG1 – group thinning in forest stand grown from cultivation planted in square spacing (distance between seedlings 0.8 m);

TG2 – group thinning in forest stand grown from cultivation planted in triangular spacing (distance between seedlings 1.0 m).

On surfaces designed were crop trees, according to adopted below assumptions, and around them

– harmful trees, for removal. Crop trees were marked in a permanent way, with a band painted by aerosol. The method of designing crop trees and trees from removal was as follows:

– at classic thinning (treatments TU1 and TU2) 500 crop trees per hectare were chosen, maintaining the regularity of their arrangement. From harmful trees group, no more than one tree from dominant layer was removed;

– at group thinning (treatments TG1 and TG2), crop trees in the same number as previously were chosen, without maintaining the criteria of even space. During thinning, removal of good quality dominant trees was attempted to be avoided;

– at heavy thinning (treatments TS1 and TS2) crop trees in number of 350 trees per hectare were chosen, arranged as far as possible regularly. From their direct neighbourhood, all competitors in contact with their crowns were removed.

Thinning according to above assumptions in Kozenice plots was planned in 1999, and in Łąck and Parciaki plots in 2000. Another thinning in Kozenice Forest Inspectorate was planned in 2007 and in Łąck Forest Inspectorate in 2008. In Parciaki plot, due to strong biotic damages, only sanitary cuttings were performed from 2003.

Janów Lubelski plot was created in 1976, in 21-year-old Scots pine of I site index (II in places) in an area of fresh coniferous forest. Experiment was started in a

system of three random blocks for testing the influence of linear cutting and selective thinning of various intensifications on stability and productivity of forest stands in II age class. In this plot, the following cuttings treatments were used:

K – control;

S1 – light selective thinning, with basal area reduction by 10% in relation to control treatment;

S3 – heavy selection thinning, with basal area reduction by 30%;

TE – extreme thinning – in first cutting over 60% of basal area was removed.

Size of each plot was 0.1 ha. Last thinning on this plot was planned in 2008.

2.2. Measurements on experimental plots

Forest stand in Kozenice, Łąck and Parciaki plots was measured before the beginning of experiment (in 1997–1999). Following measurements in Kozenice plot took place in 2005 and 2011; Łąck in 2003, 2007 and 2012; and Parciaki in 2003, 2006 and 2012. Measurements on Janów Lubelski plot was performed every 5 years between 1976 and 2001, and then in 2007 and 2012.

In Kozenice, Łąck and Parciaki plots, dbh measurements were performed (in two directions) with an accuracy of 1 mm, and total height measurements and height of all living crown base treatment (with an accuracy of 0.1 m). Tree's location in experimental plots was accurately defined. A silvicultural quality classification of individual trees according to Schädelin scale was conducted (Bernadzki et al. 1999).

In Janów Lubelski plot, dbh of all trees were measured and their classification was made, whereas the height was measured of around 30 trees in every plot in order to calculate the regression between dbh and height (height curve).

2.3. Elaboration of results

Measurement results are presented as tables and graphs. In tables, the number of trees and dbh basal area, average dbh, height and upper height and dbh of 100 thickest trees per hectare were presented, from the beginning of thinning experiment and the last measurement.

Dominance coefficients of crop trees were defined in the following way:

$$WP1 = d_i/D,$$

$$WP2 = d_i/D_A,$$

$$WP3 = d_i/D_g,$$

where d_i – dbh of a given tree, D – average dbh of whole forest stand, D_A – average dbh of dominant trees class (1st social class in Schädelin classification, which corresponds to I and II class in Kraft's scale) and D_g – dbh of 100 thickest trees per hectare. Values D , D_A and D_g were treated as permanent within individual plots.

Average dominance coefficients for individual plots of experiment are presented in tables.

The results underwent two-factor variance analysis. As a variability source taken was experiment treatment, group of trees (distinguishing thick, average and thin trees) and interactions between them. The differences between averages were compared with Tukey test.

For statistical analysis Statistica 8 package was used.

For statistical calculations, a group of trees of aligned initial parameters was chosen. Only crop trees were chosen in which WP3 coefficient in the beginning of research was included in the range 0.65–0.95, rejecting the thinnest and thickest individuals. In each variant chosen were 30 trees, 10 from each range: 0.65–0.75, 0.75–0.85 and 0.85–0.95. In total, 210 trees in each of Kozienice, Łack and Parciaki plots were chosen and 120 trees in Janów plot.

Changes of WP3 coefficient were analysed, which are differences between coefficient value of given tree in the end and beginning of each measurement period. For Kozienice plot, coefficient differences in 1999–2011 were moreover calculated, for Łack plot coefficient differences in 1997–2012, and for Parciaki plot differences in 1998–2012. That is, between a measurement made before the beginning of thinning experiment and the last measurement. The year of measurement, not on every plot coincided with the beginning of experiment or performing the cutting. For plots like Janów, such long-term changes were calculated for three periods, i.e. from the beginning of experiment in 1976 to:

- 1981, after first thinning,
- 1996 (approximately this period corresponded to II age class),
- 2012, that is, to the last measurement.

3. Research results

3.1. Biometric features in different cutting treatments

In Kozienice plot (Table 1), the initial number of trees ranged from 2849 individuals/ha (treatment TS1) to 3537 individuals/ha (treatment TG1), and basal area from 29.739 m²/ha (TS2) to 33.398 m²/ha (TS1). Treat-

ment TS1 was characterised by higher dbh value, both average and upper. During last measurement, the number of trees was from 1132 individuals/ha in treatment TS1 (heavy thinning) to 2076 individuals/ha in treatment K (control), and forest stand basal area from 24.412 m²/ha in treatment TS2 to 34.804 m²/ha in control treatment. Differences were a consequence of cutting performed according to the plan. Relatively low values of basal area are a result of occurrence of snow and wind damages in winter months in 2009–2010. These damages did not have a whole-surface character, but a single-tree character, and so they did not disrupt the experiment.

In Łack plot (Table 2), the number of initial trees ranged from 3004 individuals/ha in treatment TS1 to 4312 individuals/ha in treatment TG1. Initially, basal area was the smallest in control treatment (27.767 m²/ha), and the biggest in treatment TS2 (30.916 m²/ha). During last measurement, the number of trees ranged from 1300 individuals/ha in treatment TS1 to 2064 individuals/ha in control treatment. Forest stands basal area was estimated from 26.234 m²/ha in treatment TS1 to 34.790 m²/ha in control treatment. Sporadic abiotic damages (wind, snow) and biotic damages (*Phaenops cyanea*) did not have a significant influence on course of experiment. In the results (as in Kozienice), internal habitat diversity has some influence, expressed in forest stand's upper height diversity.

In Parciaki plot (Table 3) at the beginning of thinning experiment, tree density was much higher than on earlier plots discussed (compare Section 2.1), as is evidenced by tree number from 3896 individuals/ha in treatment TU2 to 5117 individuals/ha in treatment TG1, and basal area from 35.738 m²/ha in control treatment to 39.382 m²/ha in treatment TS1. After the beginning of experiment, biotic damages intensified, causing widening of existing gap and formation of new ones. That is why part of the plots during last measurement was characterised by extremely small number of trees and basal area, despite the fact that after occurrence of damages the thinning was stopped and only sanitary cuttings were performed. Treatment TG2 was characterised by the biggest basal area (30.237 m²/ha), that is, group thinning in forest stand planted in triangular spacing. The smallest basal area (19.883 m²/ha) was in treatment TG1 (dense square sparing, group thinning).

In Janów Lubelski plot (Table 4) at the beginning of experiment, forest stand's basal area was similar in all treatments, while the number of trees was the highest in control treatments (6403 individuals/ha) and in S1 light thinning (5783 individuals/ha), which proves the diversity of certain objects. Measurement results from 1996 were disrupted on

Table 1. Stand characteristics in experimental plot Kozienice

Year	Treatment*	Total stand**						Future crop trees			
		<i>n</i> (pcs./ha)	<i>G</i> (m ² /ha)	<i>H</i> (m)	<i>D</i> (cm)	<i>H_g</i> (m)	<i>D_g</i> (cm)	<i>n</i> (pcs./ha)	<i>G</i> (m ² /ha)	<i>H</i> (m)	<i>D</i> (cm)
1999	K	3349	32.659	13.4	11.2	14.6	17.3	493	7.749	14.1	14.1
	TG1	3537	30.402	13.2	10.5	14.7	15.8	550	7.647	14.1	13.4
	TG2	3118	31.016	13.6	11.3	15.3	17.3	580	8.854	14.6	14.0
	TS1	2849	33.398	14.0	12.3	15.0	18.8	374	7.152	14.8	15.6
	TS2	3175	29.739	13.7	10.9	15.2	16.7	365	5.942	14.7	14.4
	TU1	3045	30.938	13.8	11.4	14.9	17.1	511	8.475	14.7	14.1
	TU2	3054	30.869	13.5	11.4	14.8	17.1	510	8.394	14.3	14.4
	average	3161	31.288	13.6	11.3	14.9	17.1	483	7.745	14.5	14.3
2011	K	2076	34.804	16.0	14.7	17.3	21.5	459	11.072	16.6	17.6
	TG1	1595	28.245	16.1	15.0	17.4	21.0	523	12.132	16.6	17.0
	TG2	1495	30.031	16.8	16.0	18.0	21.8	550	13.819	17.3	17.9
	TS1	1132	26.738	16.6	17.5	17.3	22.8	369	11.870	17.2	20.2
	TS2	1302	24.412	16.4	15.5	17.3	21.2	357	9.692	16.9	18.6
	TU1	1364	27.599	16.8	16.1	17.8	22.6	491	13.511	17.3	18.7
	TU2	1382	26.836	16.4	15.8	17.5	21.7	505	13.181	16.9	18.2
	average	1478	28.381	16.5	15.8	17.5	21.8	465	12.182	17.0	18.3

* K – control treatment (no thinning), initial spacing of plantation 1.2×0.8 m

TG1 – group thinning, initial spacing of plantation 0.8×0.8 m

TG2 – group thinning, initial spacing of plantation – triangle 1.0 m

TS1 – strong thinning, initial spacing of plantation – 1.21.2 m

TS2 – strong thinning, initial spacing of plantation 1.2×0.55 m

TU1 – moderate thinning, initial spacing of plantation 1.0×1.0 m

TU2 – moderate thinning, initial spacing of plantation – triangle 1.2 m

** *n* – number of trees

G – basal area

H – mean height

D – mean dbh

H_g – top height

D_g – mean dbh of 100 thickest trees per hectare

the other hand by cutting mistakenly performed by the then forest administration on some part of plot. As a result, basal area in control treatment was lower than in light thinning treatment. During the last measurement, the forest stand was characterised by tree number from 677 individuals/ha in heavy thinning treatment (S3) to 1280 individuals/ha in control treatment; on the other hand, forest stands basal area was the smallest in treatment S3 (26.594 m²/ha), and the highest, according to expectations, in control treat-

ment (35.327 m²/ha). The lowest values of trees number and basal area, obtained in S3 treatment, result from the fact that in treatment of extreme thinning (TE) the cutting was performed more rarely than in remaining treatments. By comparing values of average dbh and height in individual treatments, it may be noticed that in heavy thinning treatments (S3 and TE) – unlike treatments control (K) and light thinning (S1) – average slenderness dropped below the critical value of 100.

Table 2. Stand characteristics of experimental plot Łąck

Year	Treatment*	Total stand						Future crop trees			
		<i>n</i> (pcs./ha)	<i>G</i> (m ² /ha)	<i>H</i> (m)	<i>D</i> (cm)	<i>H_g</i> (m)	<i>D_g</i> (cm)	<i>n</i> (pcs./ha)	<i>G</i> (m ² /ha)	<i>H</i> (m)	<i>D</i> (cm)
1997	K	3405	27.767	12.1	10.3	13.6	15.5	506	6.364	12.7	12.6
	TG1	4312	32.184	11.5	9.7	12.8	15.3	516	6.696	12.4	12.9
	TG2	3232	28.700	12.1	10.6	13.4	16.2	516	7.426	12.8	13.5
	TS1	3004	28.327	12.1	11.0	13.2	16.4	352	5.438	12.7	14.0
	TS2	4011	30.916	11.6	9.9	12.7	15.3	334	4.525	12.4	13.1
	TU1	3477	28.666	12.1	10.4	13.5	16.3	481	6.905	12.8	13.5
	TU2	3253	28.639	11.7	10.6	12.6	15.9	496	6.850	12.3	13.3
	average	3528	29.314	11.9	10.4	13.1	15.8	457	6.315	12.6	13.3
2012	K	2064	34.790	17.3	14.9	18.2	22.0	477	11.509	17.5	17.5
	TG1	1827	30.391	15.9	14.6	16.8	19.2	515	11.911	16.6	17.2
	TG2	1595	31.145	17.1	15.9	18.2	22.8	504	13.695	17.7	18.6
	TS1	1300	26.234	16.7	16.1	17.8	23.0	334	10.095	17.3	19.6
	TS2	1537	26.874	16.1	14.9	17.6	21.7	330	9.170	16.9	18.8
	TU1	1449	28.207	16.7	15.6	18.4	22.3	440	11.369	17.3	18.2
	TU2	1567	27.781	15.9	15.1	17.0	21.6	482	12.155	16.5	17.9
	average	1620	29.346	16.5	15.3	17.7	21.8	440	11.415	17.1	18.3

* As in Table 1

Table 3. Stand characteristics in experimental plot Parciaki

Year	Treatment*	Total stand						Future crop trees			
		<i>n</i> (pcs./ha)	<i>G</i> (m ² /ha)	<i>H</i> (m)	<i>D</i> (cm)	<i>H_g</i> (m)	<i>D_g</i> (cm)	<i>n</i> (pcs./ha)	<i>G</i> (m ² /ha)	<i>H</i> (m)	<i>D</i> (cm)
1998	K	4153	35.738	14.1	10.5	15.6	18.0	481	7.689	15.0	14.3
	TG1	5117	36.441	13.4	9.0	15.3	17.6	556	8.418	14.5	13.9
	TG2	4516	36.872	13.8	9.7	15.6	18.0	533	8.971	14.9	14.6
	TS1	3752	39.382	14.3	11.1	15.9	19.5	359	6.890	15.1	15.6
	TS2	4646	39.263	13.9	10.1	15.6	18.2	355	6.198	15.0	14.9
	TU1	4104	38.880	14.1	10.6	15.3	18.0	493	8.476	15.0	14.8
	TU2	3896	38.457	13.9	10.8	15.1	18.2	514	9.004	14.7	14.9
	average	4312	37.862	13.9	10.3	15.5	18.2	470	7.949	14.9	14.7
2012	K	1295	26.537	18.0	16.3	19.3	23.2	316	8.299	18.7	18.5
	TG1	942	19.883	17.3	16.4	18.8	24.2	295	8.895	18.0	19.6
	TG2	1469	30.237	18.2	16.2	19.6	23.7	441	13.097	18.9	19.4
	TS1	881	21.967	18.0	17.9	19.3	24.5	225	7.968	18.6	21.2
	TS2	974	21.839	17.7	16.9	19.0	23.8	259	8.681	18.5	20.7
	TU1	1034	23.492	18.4	17.0	19.4	23.4	322	10.239	18.8	20.2
	TU2	1023	23.633	18.0	17.5	19.0	23.6	359	11.360	18.5	20.1
	average	1088	23.941	17.9	16.9	19.2	23.8	317	9.791	18.6	20.0

* As in Table 1

Table 4. Stand characteristics in experimental plot Janów Lubelski

Year	Treatment*	Total stand						Future crop trees			
		<i>n</i> (pcs./ha)	<i>G</i> (m ² /ha)	<i>H</i> (m)	<i>D</i> (cm)	<i>H_g</i> (m)	<i>D_g</i> (cm)	<i>n</i> (pcs./ha)	<i>G</i> (m ² /ha)	<i>H</i> (m)	<i>D</i> (cm)
1976	K	6403	27.473	9.4	7.4	11.5	12.9	757	6.220	10.6	10.4
	S1	5783	26.375	9.5	7.6	11.4	13.7	597	5.615	10.6	10.9
	S3	5093	27.634	10.2	8.3	11.9	14.3	640	6.559	11.1	11.4
	TE	4873	27.961	10.2	8.6	11.8	15.0	600	6.598	11.0	11.8
	average	5538	27.361	9.8	8.0	11.7	14.0	648	6.248	10.8	11.1
1996	K	1707	28.260	16.6	14.7	18.2	20.5	683	13.670	17.11	16.2
	S1	1820	30.564	16.6	14.8	17.9	21.6	570	12.756	17.11	16.8
	S3	1243	26.333	16.9	16.6	18.5	22.5	497	13.197	17.37	18.4
	TE	953	26.746	17.8	18.9	18.9	24.7	537	16.804	18.06	20.0
	average	1431	27.976	17.0	16.3	18.4	22.3	572	14.107	17.4	17.9
2012	K	1280	35.327	20.7	18.8	22.3	25.7	610	18.745	21.0	20.0
	S1	1030	31.006	19.9	19.6	21.3	26.7	420	14.982	20.3	21.2
	S3	677	26.594	21.8	22.5	23.1	28.5	373	16.574	22.1	23.9
	TE	697	30.754	22.1	23.7	23.1	29.8	437	20.750	22.3	24.6
	average	921	30.920	21.1	21.2	22.4	27.7	460	17.763	21.4	22.4

* K – control treatment, without thinning

S1 – light thinning, 10% basal area reduction

S3 – strong thinning, 30% basal area reduction

TE – very strong thinning, over 60% basal area reduction at the first cutting

** As in Table 1

3.2. Advantage coefficients of crop trees and their changes

3.2.1. Kozenice plot

In the beginning of experiment, the dominance coefficient of crop trees over the average of forest stand (WP1) was similar in all treatments. Only coefficient in treatment TS2 had a slightly higher value (Table 5). After 6 years (year 2005), there was a drop of dominance coefficient in majority of treatments, wherein the biggest decrease was in treatments TG1 and TG2, where the increase of average dbh was faster than the increase of crop trees dbh. The coefficient in treatment TS1 did not change where crop trees deprived of competition gained the possibility of growth due to exposure, and also in treatment K where increase of average dbh was small. After the next 6 years, the coefficient dropped in all treatments, which can be explained by the displacement (natural and due to thinning) of the thinnest trees from lower layers and the increase of average dbh connected with this process. In 2012, this coefficient had the highest value in treatment TS2.

Coefficient WP2 developed similarly with this difference that in all treatments its systematic decrease

occurred, with the slowest, like in case of previous coefficient, in treatment TS2.

Coefficient WP3 was the most stable (Table 5). In first period, in majority of treatments a small decrease of this coefficient took place, remained constant on the same level in treatment TU2 and a vivid increase in treatments of heavy thinning – TS1 and TS2 – was noticed. However, in second period in treatment TS1 a drop of coefficient occurred, and a small increase was still noted in treatment TS2, and also in TG2 and K.

The analysis of WP3 changes showed in the first period a very significant influence of cutting treatment (Table 6), and also group significant influence. Homogenous group of treatments of the biggest increase were treatments TS1, TS2 and TG2, wherein the first of them stands out most firmly (Fig. 1). Change of coefficient in treatment TU2 also had a positive value. In second period, reduction of coefficient value occurred in treatment TS1 and increase in treatments TG2, TS2 and K. In effect, in all 12 years, the treatment influence was very significant (Table 6) and positive coefficient's change occurred in treatments TS2, TG2 and TS1. The biggest decrease of coefficient's value was in treatment TG1.

Table 5. Dominance coefficients (WP1, WP2 and WP3) of future crop trees depending on year and treatment in Koziencice experimental plot

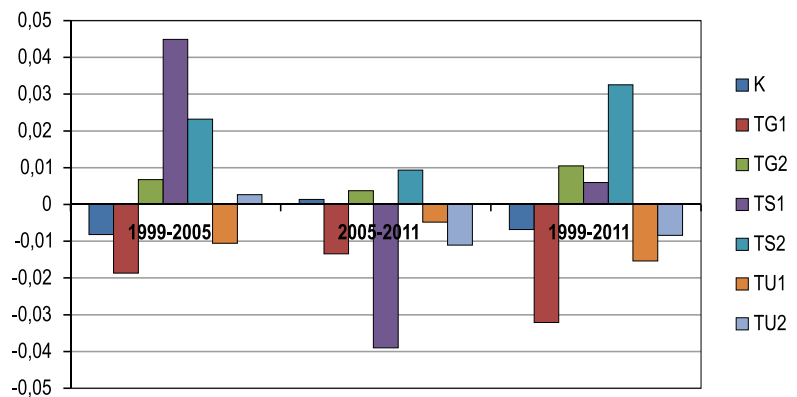
Treatment*	WP1			WP2			WP3		
	1999	2005	2011	1999	2005	2011	1999	2005	2011
K	1.254	1.256	1.183	1.147	1.129	1.104	0.812	0.807	0.810
TG1	1.267	1.201	1.138	1.141	1.102	1.098	0.840	0.831	0.818
TG2	1.239	1.191	1.105	1.109	1.088	1.078	0.807	0.806	0.815
TS1	1.261	1.261	1.146	1.152	1.127	1.093	0.825	0.864	0.837
TS2	1.307	1.301	1.195	1.168	1.166	1.144	0.856	0.869	0.872
TU1	1.267	1.251	1.160	1.158	1.127	1.106	0.851	0.842	0.829
TU2	1.265	1.256	1.146	1.158	1.144	1.093	0.838	0.838	0.830
Average	1.266	1.245	1.153	1.148	1.126	1.102	0.833	0.837	0.830

* As in Table 1

WP1 – relationship between dbh of given tree and mean dbh of stand

WP2 – relationship between dbh of given tree and mean dbh of dominant trees in stand

WP3 – relationship between dbh of given tree and mean dbh of 100 thickest trees per hectare

Figure 1. Change of WP3 coefficient in consecutive measurement periods and 7 treatments in Koziencice experimental plot**Table 6.** ANOVA results of WP3 coefficient changes in 7 spacing-thinning treatments in Koziencice experimental plot

Period	Source of variation	F statistics	Significance level	Homogenous groups
1999–2005	A – treatment	5.382	0.0000	1: TG1, TU1, K, TU2, TG2 2: TU1, K, TU2, TG2, TS2 3: TG2, TS2, TS1
	B – group*	5.964	0.0031	1: g 2: s, c
1999–2011	A – treatment	3.707	0.0017	1: TG1, TU1, TU2, K, TS1, TG2 2: TU2, K, TS1, TG2, TS2
	B – group	1.374	0.2557	–

* 3 groups of future crop trees with initial WP3 coefficient in partitions: 1 – 0.65–0.75; 2 – 0.75–0.85; 3 – 0.85–0.95

Bolded numbers – significant effect

3.2.2. Łąck plot

The value of WP1 coefficient in first period of measurements decreased in all treatments, except for treatment F (Table 7). In second period, i.e. to 2007, it increased in all treatments, except for TG2 and K treatment, and in third it decreased in every treatment. This may mean that in this period, displacement of largest group of trees of lower social classes occurred, increasing at the same time the average dbh of forest stand.

This coefficient in individual treatments was very similar in the beginning of experiment, and in period after first thinning, its increase occurred in all treatments, so that in the second period another reduction was noted. In 2012, all treatments (except for TU1) were characterised with higher WP2 coefficient than in the beginning of thinning experiment.

The value of WP3 coefficient slightly decreased in period after first thinning in all treatments, except for treatment

with heavy thinning – TS1 and TS2; in second period it increased in all treatments, except for treatments TG2 and K; in third it slightly decreased in all treatments (Table 7).

Analysis of WP3 coefficient changes showed a significant influence of cutting treatment in first period (Table 8). The largest drop of this coefficient was visible in K treatment (control) and the highest increase in treatment TS2 (Fig. 2). In the 15-year period, positive change of WP3 coefficient took place in treatments TU2, TS2, TU1 and TS1, while negative in treatments TG1, TG2 and K. These changes, however, are not proved statistically (Table 8). This may result in a harder to analyse statistically non-block experiment system.

3.2.3. Parciaki plot

As was mentioned earlier, an intense disease process revealed itself in this plot, resulting in mass tree displacement.

Table 7. Dominance coefficients of future crop trees depending on year and treatment in Łąck experimental plot

Treatment*	WP1				WP2				WP3			
	1997	2003	2007	2012	1997	2003	2007	2012	1997	2003	2007	2012
K	1.229	1.203	1.192	1.173	1.068	1.126	1.087	1.095	0.815	0.806	0.802	0.793
TG1	1.312	1.227	1.238	1.167	1.100	1.149	1.119	1.103	0.835	0.831	0.833	0.822
TG2	1.260	1.200	1.195	1.161	1.079	1.130	1.110	1.100	0.832	0.822	0.818	0.808
TS1	1.264	1.250	1.261	1.209	1.103	1.153	1.131	1.123	0.853	0.853	0.856	0.849
TS2	1.291	1.309	1.318	1.249	1.115	1.198	1.170	1.163	0.851	0.866	0.867	0.860
TU1	1.290	1.223	1.228	1.153	1.107	1.134	1.116	1.096	0.821	0.808	0.814	0.810
TU2	1.236	1.212	1.217	1.180	1.096	1.148	1.111	1.099	0.830	0.827	0.831	0.827
Average	1.269	1.232	1.236	1.185	1.095	1.148	1.121	1.111	0.834	0.830	0.832	0.824

* As in Table 1

Figure 2. Change of WP3 coefficient in consecutive measurement periods in Łąck experimental plot

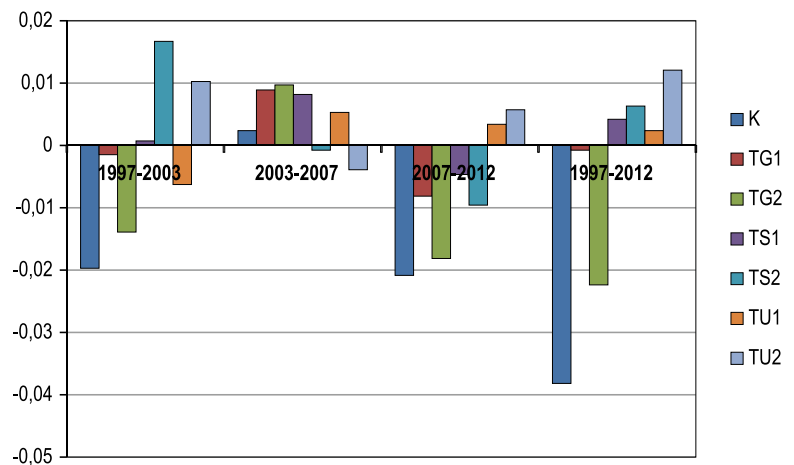


Table 8. ANOVA results of WP3 coefficient changes in 7 spacing-thinning treatments in Kozienice experimental plot

Period	Source of variation	F statistics	Significance level	Homogenous groups
1997–2003	A – treatment	3.201	0.0051	1: K, TG2, TU1, TG1, TS1 2: TG2, TU1, TG1, TS1, TU2 3: TU1, TG1, TS1, TU2, TS2
	B – group*	0.381	0.6836	–
1997–2012	A – treatment	1.809	0.0992	–
	B – group	2.102	0.1251	–

* As in Table 6

Table 9. Dominance coefficients of future crop trees depending on year and treatment in Parciaki experimental plot

Treatment*	WP1				WP2				WP3			
	1998	2003	2006	2012	1998	2003	2006	2012	1998	2003	2006	2012
K	1.351	1.235	1.167	1.152	1.125	1.109	1.088	1.062	0.789	0.808	0.820	0.808
TG1	1.441	1.214	1.185	1.175	1.131	1.103	1.094	1.074	0.778	0.773	0.798	0.800
TG2	1.416	1.271	1.190	1.187	1.138	1.121	1.102	1.093	0.807	0.801	0.810	0.815
TS1	1.337	1.240	1.203	1.175	1.149	1.164	1.111	1.096	0.795	0.820	0.839	0.857
TS2	1.427	1.259	1.225	1.214	1.155	1.139	1.134	1.114	0.813	0.837	0.859	0.860
TU1	1.334	1.215	1.188	1.181	1.115	1.122	1.105	1.105	0.814	0.829	0.844	0.858
TU2	1.325	1.202	1.174	1.146	1.108	1.127	1.083	1.067	0.816	0.838	0.839	0.848
Average	1.376	1.234	1.190	1.176	1.132	1.126	1.102	1.087	0.802	0.815	0.830	0.835

* As in Table 1

Table 10. ANOVA results of WP3 coefficient changes in 7 spacing-thinning treatments in Parciaki experimental plot

Period	Source of variation	F statistics	Significance level	Homogenous groups
1998–2003	A – treatment	5.179	0.0001	1: TG1, TG2, K 2: TG2, K, TS1, TU1, TU2 3: K, TS1, TU1, TU2, TS2
	B – group*	0.525	0.5925	–
1998–2012	A – treatment	2.593	0.0194	–
	B – group	0.884	0.4150	–

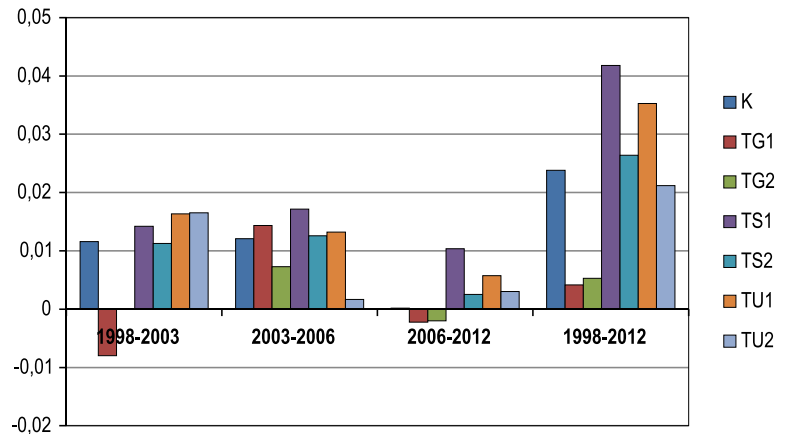
* As in Table 6

That is why the population of crop trees that survived a 14-year research period is not great. The forest stand, unlike others, was not managed earlier; therefore, the initial levels of WP1 coefficient value are very high. This is caused by low average dbh forest stand, and significant reduction of coefficient in all treatments in the following years (Table 9).

In first period after thinning, the increase of WP2 coefficient occurred in treatments of moderate thinning TU1

and TU2 and in treatment of heavy thinning TS1 and reduction of this coefficient in remaining treatments. The difference in forest stand's reduction in two treatments of heavy thinning TS1 and TS2 may have resulted from the fact that in this last one, characterised by dense initial spacing, during thinning a large number of thin trees with high social position were removed, increasing average dbh of this class. In the following periods, smaller

Figure 3. Change of WP3 coefficient in consecutive measurement periods in Parciaki experimental plot



or greater coefficient decrease was noted, but due to very intensive loss it is hard to interpret these data.

WP3 coefficient increased in first period in all treatments, with the exception of group thinning treatments TG1 and TG2; however, in following periods, during intense loss duration, it increased in all treatments, including TG1 and TG2 (Table 9).

The variance analysis showed relevant influence of treatment on coefficient changes in first period (Table 10). Negative change occurred in treatment TG1, close

to zero in treatment TG2 and positive in remaining treatments (Fig. 3). For the 14-year period, homogenous groups could not be distinguished (Table 10). In all of treatments, an increase of coefficient occurred, but in case of TG1 and TG2 treatments it was visibly smaller.

3.2.4. Janów plot

At the beginning of the experiment, the forest stand on this plot was younger than in others (compare Section 2.1); that is why the values of coefficient on the beginning

Table 11. Dominance coefficients of future crop trees depending on year and treatment in Janów Lubelski experimental plot

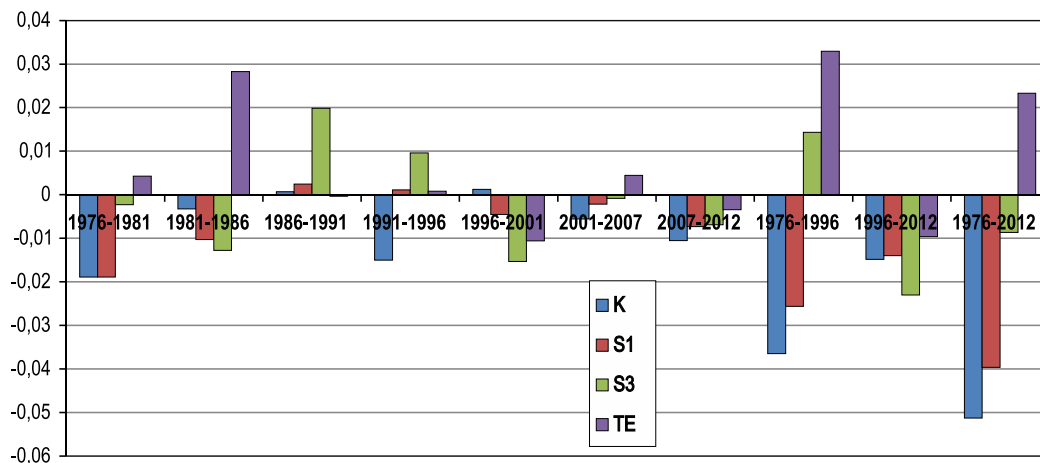
Coefficient	Treatment*	1976	1981	1986	1991	1996	2001	2007	2012
WP1	K	1.383	1.309	1.254	1.165	1.088	1.089	1.058	1.046
	S1	1.421	1.297	1.236	1.177	1.123	1.124	1.098	1.064
	S3	1.359	1.249	1.209	1.139	1.095	1.101	1.068	1.050
	TE	1.362	1.044	1.056	1.057	1.042	1.058	1.024	1.025
	average	1.381	1.225	1.189	1.134	1.087	1.093	1.062	1.046
WP2	K	1.088	1.062	1.059	1.045	0.989	0.991	0.988	0.981
	S1	1.104	1.072	1.064	1.064	1.012	1.009	1.027	1.021
	S3	1.095	1.088	1.081	1.073	1.023	1.022	1.027	1.021
	TE	1.088	1.011	1.023	1.016	0.998	1.021	1.012	1.004
	average	1.094	1.058	1.057	1.049	1.005	1.011	1.013	1.007
WP3	K	0.801	0.779	0.779	0.781	0.785	0.770	0.765	0.765
	S1	0.792	0.774	0.763	0.766	0.772	0.758	0.769	0.781
	S3	0.800	0.796	0.782	0.795	0.808	0.792	0.813	0.829
	TE	0.783	0.783	0.799	0.792	0.800	0.789	0.814	0.815
	average	0.794	0.783	0.781	0.784	0.791	0.777	0.790	0.798

* As in Table 4

Table 12. ANOVA results of WP3 coefficient changes in 4 spacing-thinning treatments in Janów experimental plot

Period	Source of variation	F statistics	Significance level	Homogenous groups
1976–1981	A – treatment	3.589	0.0161	1: K, S1, S3 2: S3, TE
	B – group*	1.431	0.2435	–
1976–1996	A – treatment	7.850	0.0001	1: K, S1 2: S1, S3 3: S3, TE
	B – group	0.522	0.5949	–
1976–2012	A – treatment	5.219	0.0021	1: K, S1, S3 2: S3, TE
	B – group	1.994	0.1411	–

* As in Table 1

**Figure 4.** Change of WP3 coefficient in consecutive measurement periods in Janów experimental plot

of experiment were significantly higher (Table 11). After first thinning, these coefficients decreased in all of examined treatments. They decreased the most in extreme thinning TE treatment because that is where the average forest stands dbh increased the most. In the following research periods, slow decrease of coefficient value occurred, and after 1996 a one-time increase occurred. It may have been connected with (mentioned in Section 3.1) additional cutting performed in part of the plot.

The development of WP2 coefficient runs similar as in case of WP1 coefficient; however, those changes were not so rapid because average dbh of dominant class changes slower than average dbh of whole forest stand.

The greatest decrease of coefficient value took place in TE treatment, although in 1986 in this treatment an increase was also noted. In 2012, treatment K (control) was characterised with the lowest value of coefficient.

WP3 coefficient in research period underwent various changes depending on cutting treatment. In first period it decreased in all treatments, except for TE treatment (Table 11). In control treatment, it slowly, but systematically, decreased. In S1 and S3 treatments, it initially decreased, and then increased. In 2012, the coefficient had in S3 treatment the highest value. In TE treatment, it was slightly smaller, which can be explained by less frequent interventions running.

Variance analysis showed a relevant influence of cutting treatment on WP3 coefficient change for first measurement period, for whole research period and for first 20 years of experiment (Table 12). The strongest influence stated was in case of II age class. It may be connected with the fact that heavy thinning gives a long-term effect; this is why the greatest coefficient increase in TE and S3 occurred not in the first 5-year period, but in next period (Fig. 4). In 1996–2012, the coefficient's decrease took place in all treatments. In II age class treatments TE and S3 were characterised with a positive coefficient change, and at the end of III age class only TE treatment.

4. Summary and discussion

The results obtained within presented research do not allow for drawing far reaching conclusions concerning the usefulness of the thinning method due to the fact that it was tested for limited scale and with various initial states (spacing experiment adaptation).

For evaluation of increment reaction, dominance coefficients were used as defined in earlier elaborations (Zachara 1998, 1999). Two of them were used earlier in forest experimenting. Ilmurzyński (1974) evaluated the accuracy of tree selections on the basis of dominance of a given tree's dbh over average dbh, which corresponds to WP1 coefficient defined in this thesis. Hynynen (1995) defined the reaction of a single tree for thinning with the use of its dbh to average dbh of 100 thickest trees per hectare ratio, that is, WP3 coefficient.

WP1 coefficient, as proved in earlier research in plots in Wyszaków, Ostrów Mazowiecka and Myszyniec Forest Inspectorates (Zachara 1998), is very dependent on forest stand density degree, where rapid changes in following measurement periods result. In research from 1998 after first thinning performed around 20 years of age, greater decrease of WP1 coefficient characterised treatments of greater severity of cutting. Later, the situation reversed – in the following periods, the largest decrease occurred in control treatment. At the end of II age class, differences between cutting treatments could be noticed, when it comes to the coefficient value. Similar results obtained were in current research.

WP2 coefficient, on the other hand, was supposed to be a better version of WP1 coefficient, less dependent on social forest stand structure and occurrence of intermediate and suppressed trees. It should be noticed, however, that its value depends to a large extent on tree movement in biosocial classes. The regression of certain number of dominant trees to lower classes automatically causes the

increase of average dbh of dominant forest stand, which can be expected in control treatment or in light thinning treatment. On the other hand, in managed forest stand, in comparison with control treatment, the increase of average dbh of tree from dominant layer should be expected (Pařez 1980). This is why the interpretation of this coefficient's changes may show certain difficulties. Additional complication is a subjective evaluation of trees' social position, which has an influence on the obtained result, especially when during the experiment the change of leading person occurs, which is inevitable with long-term experiments. Such change took place for example in Łack plot, where different results than in other objects were obtained – coefficient increase in period after first thinning. Therefore, this coefficient should be treated only as indicative information, and not a precise measure of changes in forest stand.

The most interesting from cognitive point of view are results of analysis of WP3 coefficient changes, which is the most stable measure of tree growth situation changes. Earlier research (Zachara 1998) showed an important influence of cutting intensification on crop trees growth on the beginning of II age class, except for one plot established in poorer habitat (II bonitation) and gradual disappearance of differences in the following periods. Some authors even conclude that positive thinning effect in pine is possible only in richer habitats (Kojola et al. 2012).

Equally strong reaction relying on increase of WP3 coefficient was registered in present research on Kożenice, Łack and Parciaki plots, especially in heavy thinning treatments according to crop trees. Again, in the following periods elimination of these differences occurred. The exception was Parciaki plot, in which a significant influence of cutting treatment on changes of WP3 coefficient was proved in all periods. It was caused doubtless by canopy opening of forest stand, which was a result of progressive disease. Trees, which avoided infection, gained therefore better growth conditions.

A slightly different situation was in Janów plot, where inter alia extreme thinning treatment was used, giving long-term density reduction. Here, the strongest reaction after thinning noted was in second 5-year period. The influence of cutting treatment was stronger in 20-year period than in first 5 years. It may be interpreted as an effect of lower reaction of forest stand on weaker habitat (Ważyński 1987) because the fragments of plot are characterised by II bonitation.

In 20-year period, a relevance of heavy and extreme thinning influence was stated, and in 36-year period, counting from the beginning of experiment, only extreme

thinning. Such results may be interpreted as an argument in favour of very heavy and rare thinning. However, this interpretation has some weaknesses – such heavy thinning performed was only on small 10-acre plots. It is not known what the thinning effects would be on large plots when it comes to threats from biotic and abiotic factors. According to Zajączkowski (1991), damages from hurricane winds in 70s and 80s of the 20th century took place in these regions, where earlier heavy and large-area thinning was performed. For caution in excessive increasing of thinning intensification speaks also situation observed on Parciaki plot. The use of heavy thinning on that plot activated a disease process in forest stand. It is not clear what would be the effect of mass use of this method on quality and wood mechanical properties (Peltola et al. 2007).

In some plots, the influence of initial thickness of crop tree on thinning effect was stated. Trees in which WP3 coefficient amounted around 0.7 showed positive reaction on performed cutting, which indicates that choice of crop trees is possible not only among thickest individuals, and in consequence a more intense quality selection is possible (Zimmerman 2010). Similar results obtained were in two experiments with heavy thinning in pine forest stands in Germany and Czech Republic, with a low number of crop trees estimating 200 individuals/ha (Abetz and Chroust 2004). As indicated by Chroust's research results (2001), this regularity (positive reaction of thinner trees for performed cutting) concerns only individuals from dominant layer (II Kraft's class), because searching for crop trees among co-dominant trees (from III Kraft's class) does not give a positive effect – even with heavy upper thinning their increase in thickness is not satisfying. Earlier, Ilmurzyński (1974) as a criterion of crop trees choice adopted dbh 20% bigger from average dbh for forest stand (which is $WP1 \geq 1.2$). In the light of obtained results, however, this criterion should be acknowledged as imprecise, and be guided by WP3 coefficient as being more objective.

In the 1990s, in Meklemburgia area, a quite similar thinning experiment in pine forest stands was created in which a different number of crop trees were selected (from 170 to 600 individuals/ha). Initial results confirmed the influence of heavy thinning substantially higher than in traditional selective thinning on increase of crop trees thickness under the condition that their number is not bigger than 200 units/ha (Mehl 2003).

When it comes to the meaning of results for forest practice, the experiment conducted allows for making certain cautious generalisations. Significant effect of thinning in Janów was obtained by heavy thinning (S3 and TE) and in remaining plots by thinning according to crop trees (TS1 and TS2). In some plots, a positive effect could be

stated also in case of moderate thinning (TU1 and TU2). On the other hand, light thinning (S1 in Janów) did not give such an effect. The same concerns group thinning (TG1 and TG2) in Kozienice, Łąck and Parciaki plots. In this last case, the cause may be the fact that one of the main goals of this thinning methods is to provide forest stand's stability (Zajączkowski 1990), which is connected also with avoiding forest stand's closure interruption.

5. Conclusions

Dominance coefficient WP3 is a good measure that allows assessing the usefulness of a given tree for a crop tree and for evaluating thinning effects. At heavy thinning, crop trees chosen may be those of coefficient $WP3 \geq 0.7$.

Permanent thinning effect, which is an improvement of crop trees growth in comparison with the rest of forest stand, may be obtained under influence of heavy or moderate thinning. Light thinning does not give such an effect.

The basic method of Scots pine forest stands thinning should remain moderate selective thinning. The use of strong cutting in favour of smaller number of crop trees may be used for experimental purposes in objects characterised by a good sanitary condition and managed properly.

Acknowledgements

This research received no specific grant from any funding agency in the public, commercial or not-for-profit sectors.

References

- Abetz P. 1967. Erste Ergebnisse aus Stammzahlreduzierungsversuchen in Fichten- und Kiefernjungbeständen. *AFZ*, 33: 565–568.
- Abetz P. 1976. Beiträge zum Baumwachstum. Der h/d-Wert – mehr als ein Schlankeitsgrad. *Der Forst- und Holzwirt*, 19: 389–393.
- Abetz P., Chroust 2004. Wachstumvergleiche in zwei Kiefern-Durchforstungsversuchen in Tschechien und Deutschland. *Allgemeine Forst und Jagdzeitung*, 6: 117–124.
- Alam A., Kilpeläinen A., Kellomäki S. 2012. Impacts of initial density and thinning regimes on energy wood production and management-related CO₂ emissions in boreal ecosystems. *European Journal of Forest Research*, 131, 3: 655–667.
- Bernadzki E. 1969. Zmiany wartości hodowlanej drzewostanu pod wpływem cięć liniowych [Alterations in the silvicultural value of stand due to line thinning]. *Sylvan*, 10: 1–10.
- Bernadzki E., Ilmurzyński E., Szymański S. 1999. Trzebieże. Poradnik leśniczego. Warszawa, PWRiL.

- Chroust L. 2001. Výsledky úrovňové a podúrovňové výchovy borového porostu. *Lesnická Práce*, 6: 252–254.
- Fries J. 1969. Der Einfluss extrem starker Durchforstung auf den Ertrag und die Bestandessicherheit von Nadelholzbeständen. *AFZ*, 39: 760–761.
- Gryniewicz J. 1972. Wpływ trzebieży selekcyjnej i cięć liniowych na powstawanie szkód śniegowych w drzewostanach sosnowych [The influence of selection thinning and row removal upon the occurrence of snow-induced damage in pine stands]. *Sylvan*, 3: 17–28.
- Gryniewicz J. 1988. Próba weryfikacji biologiczno-hodowlanych klas drzew wyróżnionych w drzewostanach sosnowych II klasy wieku. *Prace Instytutu Badawczego Leśnictwa*, 661: 94–129.
- Huss J. 1983. Durchforstungen in Kiefernjungbeständen. *Forstwissen-schaftliches Centralblatt*, 1: 1–17.
- Huss J. 1993. Waldbau von neuen Herausforderungen bei Waldverjüngung und Jungbestandspflege. *Forstwissen-schaftliches Centralblatt*, 3: 278–286.
- Hynynen J. 1995. Predicting the growth response to thinning for Scots pine stands using individual-tree growth models. *Silva Fennica*, 29 (3), 225–246.
- Imurzyński E. 1974. Badania nad trafnością wyboru drzew dorodnych w drzewostanach sosnowych, dębowych i bukowych. *Prace Instytutu Badawczego Leśnictwa*, 470: 1–50.
- Johann K. 1981. Nicht schnee, sondern falsche Bestandesbehandlung verursacht Katastrophen. *Allgemeine Forstzeitung*, 92 (5): 163–171.
- Kojola S., Ahtikoski A., Hökkä H., Penttilä 2012. Profitability of alternative management regimes in Scots pine stands on drained peatlands. *European Journal of Forest Research*, 131: 413–426.
- Konôpka J., Petráš R., Toma R. 1987. Štíhlostný koeficient hlavných drevín a jeho význam pri statickej stabilite porastov. *Lesnictvi*, 33 (10): 887–904.
- Leibundgut H. 1972. Pielęgnowanie drzewostanów. Warszawa, PWRiL, p.160.
- Mehl M. 2003. Erste Ergebnisse zur Z-Baumorientierten Auslesedurchforstung in Kiefernjungbeständen. *Forstliches Versuchswesen M–V*, 4: 65–70.
- Pařez J. 1980. Fytocenotické postavení stromů v borových tyčovinách a jeho změny. *Lesnictvi*, 1: 21–34.
- Peltola H., Kellomäki S., Hassinen A., Lemettinen M., Aho J. 1993. Swaying of trees as caused by wind: analysis of field measurements. *Silva Fennica*, 27, 2: 113–126.
- Peltola H., Kellomäki S., Hassinen A., Granander M. 2000. Mechanical stability of Scots pine, Norway spruce and birch: an analysis of tree-pulling experiments in Finland. *Forest Ecology and Management*, 135: 143–153.
- Peltola H., Kilpeläinen A., Sauvala K., Räisänen T., Ikonen V.-P. 2007. Effects of early thinning regime and tree status on the radial growth and wood density of Scots pine. *Silva Fennica*, 3. 489–505.
- Routa J., Kellomäki S., Peltola H., Asikainen A. 2011. Impacts of thinning and fertilization on timber production in Norway spruce and Scots pine: scenario analyses based on ecosystem model simulations. *Forestry*, 2: 159–171.
- Schädelin W. 1942. Die Auslesedurchforstung als Erziehungsbetrieb höchster Wertleistung. Wyd. 3, Bern-Leipzig.
- Slodičák M. 1995. Thinning regime in stands of Norway spruce subjected to snow and wind damage. In: Coutts M. P., Grace I. (eds). *Wind and trees*. Cambridge University Press: 436–447.
- Stepień E. 1986. Zwiększanie stabilności drzewostanów przy pracach odnowieniowych. *Sylvan*, 1: 13–21.
- Talkkari A., Peltola H., Kellomäki S., Strindman H. 2000. Integration of component models from the tree, stand and regional levels to assess the risk of wind damage at forest margins. *Forest Ecology and Management*, 135: 303–313.
- Ważyński P. 1987. Produkcyjność pielęgnowanych i niepielęgnowanych drzewostanów sosnowych II klasy wieku. *Prace Komisji Nauk Rolniczych i Komisji Nauk Leśnych PTPN*, 64: 151–157.
- Zachara T. 1998. Wpływ trzebieży selekcyjnej na strukturę socjalną i jakość hodowlaną drzewostanów sosnowych II klasy wieku. Praca doktorska. Instytut Badawczy Leśnictwa, Warszawa, p. 79.
- Zachara T. 1999. Influence of selective thinning on growth of future crop trees population in young Scots pine stands. *Folia Forestalia Polonica, Series A*, 41: 87–103.
- Zachara T. 2000. Wpływ trzebieży selekcyjnej na strukturę biosocjalną drzewostanu sosnowego w II klasie wieku [The influence of selective thinning on the social structure of the young Scots pine stand]. *Prace Instytutu Badawczego Leśnictwa*, 3 (902): 35–61.
- Zajączkowski J. 1990. Stabilisierende Gruppendurchforstung in Kiefernbeständen. *Forstarchiv*, 1: 39–40.
- Zajączkowski J., 1991. Odporność lasu na szkodliwe działanie wiatru i śniegu. Warszawa, Wydawnictwo Świat. p. 224.
- Zajączkowski J. 1994. Biogrupy drzew w drzewostanach – możliwości i celowość ich wykorzystania przy prowadzeniu trzebieży. *Prace Instytutu Badawczego Leśnictwa, Seria A*, 778: 1–38.
- Zimmerman R. 2010. Kiefern-Durchforstungsversuch „Spitze 314 a 1”. *AFZ Wald*, 1: 26–29.